

حل معادلات وابستهٔ ترمولاستیسیتیهٔ دینامیکی در استوانهٔ جدار نازک تحت اثر شوک‌های فشار، برش و درجهٔ حرارت با استفاده از روش اجزاء محدود

بهزاد حکیم‌الهی

دانشجوی دکترای گروه مهندسی مکانیک - دانشکده فنی - دانشگاه تهران

ناصر سلطانی

دانشیار گروه مهندسی مکانیک - دانشکده فنی - دانشگاه تهران

(تاریخ دربافت ۷۷/۶/۱۶، تاریخ تصویب ۷۸/۲/۲۵)

چکیده

در مواردی که ثابت زمانی اغتشاشات حرارتی قابل قیاس باشد احتیاج به حل همزمان میدان توزیع تنش و درجهٔ حرارت در قطعه می‌باشد. در این مقاله با استفاده از روابط کلی ترمولاستیسیتیهٔ دینامیکی وابسته که شامل معادلات تعادل الاستیسیتیه و معادله انرژی می‌باشد، معادلات ترمولاستیسیتیهٔ دینامیکی حاکم بر پوستهٔ استوانه‌ای جدار نازک بدست آمده است. با توجه به عدم وجود حل تحلیلی برای این معادلات از روش اجزاء محدود برای حل آنها استفاده گردید، است. در این مقاله اثر تغییر مکان محوری در معادلات وارد گردیده و توزیع درجهٔ حرارت در ضخامت پوسته سهمی در نظر گرفته شده است. همچنین امکان اعمال شوک‌های فشار، برش و درجهٔ حرارت تابع زمان و متغیر در طول استوانه وجود دارد.

کلید واژه‌ها: ترمولاستیسیتیهٔ وابسته، بارگذاری دینامیکی، اجزاء محدود، استوانهٔ جدار نازک، گالرکین

مقدمه

$$K\nabla^T T + \dot{Q} = (\lambda + 2\mu)\alpha T \dot{\varepsilon}_{kk} + \rho c \dot{T} \quad (2)$$

در رابطه فوق σ_{ij} تانسور تنش، ρ چگالی، b_i بردار نیروهای حجمی و a_i بردار شتاب خطی، K ضریب هدایت حرارتی، T درجهٔ حرارت مطلق، \dot{Q} نرخ انرژی تولیدی در واحد حجم جسم، λ و μ ثابت‌های لامه، α ضریب انبساط حرارتی، T_a درجهٔ حرارت اولیه در حالت بدون تنش، $\dot{\varepsilon}_{kk}$ نرخ تغییرات کرنش حجمی و c ضریب گرمایی ویژه می‌باشند.

با توجه به پیچیدگی‌هایی که در حل این معادلات وجود دارد، حل تحلیلی آنها به جز در موارد خاص وجود ندارد. به همین دلیل از روش‌های عددی مانند روش اجزاء محدود برای حل این گونه معادلات استفاده گردیده است. از کارهای انجام گرفته در این زمینه می‌توان به کاربرد روش گالرکین برای حل مسئلهٔ ترمولاستیسیتیه وابسته برای پوستهٔ استوانه‌ای بوسیله Brull و McQuillen [۵] اشاره کرد که به یافتن حل تحلیلی به صورت سری منجر گردیده است. Tene و Shienman [۶] اسلامی و Takezono, Ghoneim [۷] نیز کارهایی در این زمینه انجام واحدی [۲] و [۳] و واحدی [۴] نیز کارهایی در این زمینه انجام

مسائلی که در آنها اجسام به طور همزمان تحت اثر بارهای ضربه‌ای مکانیکی (شوک مکانیکی) و شوک حرارتی و یا در معرض یکی از بارهای مذکور قرار می‌گیرند، بعد وسیعی از کاربردهای عملی مهندسی را شامل می‌شوند. به طور نمونه می‌توان از دیگهای بخار، موتور راکت‌های سوخت جامد، توربین‌ها، مخازن تحت فشار مورد استفاده در تحولات مکانیکی، شیمیایی و یا اتمی و موتورهای جت و به طور کلی قطعاتی که در معرض فعل و انفعالات انفجاری می‌باشند نام برد. برای طراحی و تحلیل اینگونه قطعات احتیاج به بدست آوردن توزیع تنش و توزیع درجهٔ حرارت در کل قطعه می‌باشد، تا بر اساس آنها بتوان جنس و ابعاد و استحکام مورد نیاز قطعه را تعیین کرد. برای این منظور احتیاج به حل معادلات ترمولاستیسیتیه می‌باشد. معادلات ترمولاستیسیتیه از معادله تعادل الاستیسیتیه و معادله انرژی تشکیل شده است که در حالت بارگذاری دینامیکی این معادلات به یکدیگر وابسته بوده و به صورت زیر نوشته می‌شوند :

$$\sigma_{ij,j} + \rho b_i = \rho a_i \quad (1)$$

حول محور z به صورت زیر بدست می‌آیند:

$$\sum dF_x = dm \cdot \ddot{u} \Rightarrow \frac{\partial N_x}{\partial x} = \rho h \ddot{u} - p_x \quad (3)$$

$$\sum dF_z = dm \cdot \ddot{w} \Rightarrow \frac{\partial Q_x}{\partial x} - \frac{N_\theta}{R} = p_z - \rho h \ddot{w} \quad (4)$$

$$\sum dM_y = dI_{yy} \cdot \ddot{\Psi} \Rightarrow \frac{\partial M_x}{\partial x} - Q_x = \frac{\rho h^3}{12} \cdot \frac{\partial^2}{\partial t^2} \left(\frac{\partial w}{\partial x} \right) \quad (5)$$

با حذف Q_x در روابط (۴) و (۵) معادله زیر بدست می‌آید:

$$\frac{\partial^2 M_x}{\partial x^2} + \frac{N_\theta}{R} = P_z - \rho h \ddot{w} + \frac{\rho h^3}{12} \cdot \frac{\partial^4 w}{\partial x^2 \partial t^2} \quad (6)$$

برای این اساس، دو معادله تعادل بدست آمد که برای فرمول‌بندی آنها بر حسب مؤلفه‌های تغییرمکان u و w از روابط الاستیسیتیت حاکم بر پوسته استوانه‌ای استفاده می‌گردد [۸، ۹]. با استفاده از این روابط و جایگذاری آنها در روابط (۳) و (۶) و با فرض تقریب درجه دو برای توزیع درجه حرارت در جهت ضخامت معادلات تعادل الاستیسیتیت بر حسب تغییرمکان‌های u و w به صورت زیر بدست می‌آیند:

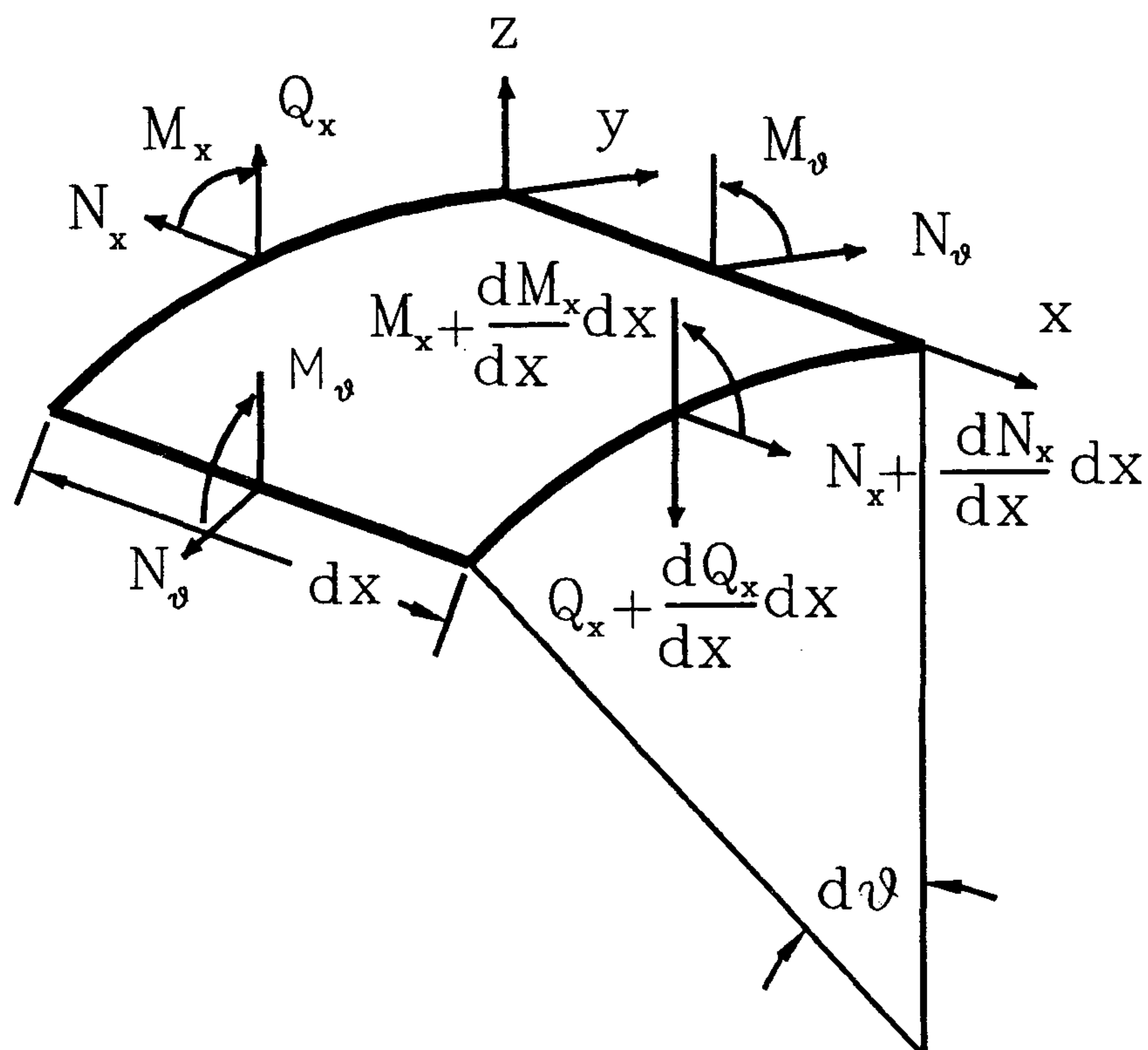
داده‌اند. اسلامی، شاکری و صداقتی [۱] مسئله ترمومالاستیستیت وابسته را برای استوانه جدار نازک با حذف اثر تغییرمکان محوری، ثابت گرفتن شوک‌های مکانیکی و حرارتی در طول استوانه و خطی گرفتن توزیع درجه حرارت در جهت ضخامت مورد بررسی قرار داده‌اند.

نویسنده‌گان مقاله نیز معادلات دینامیکی ترمومالاستیسیتیت وابسته در استوانه جدار نازک را برای حل به روش اجزاء محدود در حالتی که اثر تغییرمکان محوری لحاظ گردیده و شوک‌های مکانیکی و حرارتی در طول استوانه متغیر بوده و توزیع درجه حرارت در جهت ضخامت به صورت سهمی تقریب زده شده است بدست آورده‌اند [۸، ۹].

در مقاله حاضر خلاصه کار انجام شده به همراه نتایجی که با استفاده از حل چند مثال و مقایسه با روش‌های قبلی بدست آمده ارائه گردیده است.

معادلات حاکم بر پوسته استوانه‌ای جدار نازک

معادلات حاکم شامل معادلات تعادل دینامیکی و معادله انرژی (اصل اول ترمودینامیک) می‌باشد. معادلات تعادل دینامیکی با استفاده از شکل (۱) با نوشتن معادلات حرکت در جهت x و z و



شکل ۱: جزئی از پوسته استوانه‌ای.

$$\begin{cases} \frac{\partial^2 w}{\partial x^2} + \frac{12}{R^2 h^2} \cdot w + \frac{12\rho(1-\nu^2)}{Eh^2} \cdot \frac{\partial^2 w}{\partial t^2} - \frac{\rho(1-\nu^2)}{E} \cdot \frac{\partial^2 w}{\partial x^2 \partial t^2} + \frac{12\nu}{Rh^2} \cdot \frac{\partial u}{\partial x} - \frac{12\alpha(1+\nu)}{Rh^2} T + \\ (1+\nu)\alpha \frac{\partial^2 T}{\partial x^2} - \frac{(1+\nu)}{R} \cdot \alpha T_r = \frac{12(1-\nu^2)}{Eh^2} \cdot p_z \\ \frac{\partial^2 u}{\partial x^2} - \frac{\rho(1-\nu^2)}{E} \cdot \frac{\partial^2 u}{\partial t^2} + \frac{\nu}{R} \cdot \frac{\partial w}{\partial x} - (1+\nu)\alpha \left[\frac{\partial T}{\partial x} + \frac{h^2}{12} \cdot \frac{\partial^2 T}{\partial x^2} \right] = -\frac{(1-\nu^2)}{Eh} p_x \end{cases} \quad (7)$$

معادلات حاصله (۳) ، (۶) و (۹) سه معادله دیفرانسیل هستند که شامل پنج مجهول ($T_1(x,t)$ ، $T_2(x,t)$ ، $w(x,t)$ ، $u(x,t)$ و T_a) می‌باشند. با توجه به تقریب سهموی برای توزیع درجه حرارت در جهت ضخامت پوسته مقداری خطأ در معادله انرژی بوجود خواهد آمد که با استفاده از روش باقیمانده وزنی گالرکین، باقیمانده فوق نسبت به ۱ و z^2 در محدوده مکانی $\frac{h}{2}$ تا $\frac{h}{2}$ عمود می‌شود، برای این منظور:

$$\int_{-\frac{h}{2}}^{\frac{h}{2}} R_s dz = 0; \quad \int_{-\frac{h}{2}}^{\frac{h}{2}} R_s \cdot z dz = 0; \quad \int_{-\frac{h}{2}}^{\frac{h}{2}} R_s \cdot z^2 dz = 0. \quad (11)$$

$$R_s = K \left(\frac{\partial^2 T}{\partial z^2} + \frac{1}{R} \cdot \frac{\partial T}{\partial z} + \frac{\partial^2 T}{\partial x^2} \right) - (3\lambda + 2\mu) \alpha T_a \frac{\partial}{\partial t} \left(\frac{\partial u}{\partial x} - z \frac{\partial^2 w}{\partial x^2} + \frac{w}{R} \right) - \rho c \frac{\partial T}{\partial t} \quad (12)$$

با توجه به اینکه سطوح داخلی و خارجی استوانه تحت اثر انتقال حرارت جابجایی می‌باشند، شرایط مرزی مربوطه در جهت z به صورت زیر می‌باشد:

$$-K \frac{\partial T}{\partial z} = h_i [T_i - T] \quad z = -\frac{h}{2} \quad (13)$$

$$-K \frac{\partial T}{\partial z} = h_o [T - T_a] \quad z = \frac{h}{2} \quad (14)$$

با محاسبه روابط (۱۱) و جایگذاری شرایط مرزی (۱۳) و (۱۴) سه معادله زیر بدست می‌آید:

$$\begin{aligned} \frac{\partial^2 T_o}{\partial x^2} - \left(\frac{h_i + h_o}{Kh} \right) T_o - \frac{1}{a} \cdot \frac{\partial T_o}{\partial t} + \left(\frac{h_i - h_o}{2K} + \frac{1}{R} \right) T_1 + \frac{h}{12} \cdot \frac{\partial^2 T_1}{\partial x^2} - \frac{h}{12a} \cdot \frac{\partial T_1}{\partial t} \\ - h \left(\frac{h_i + h_o}{4K} \right) T_1 + \frac{h_i}{Kh} (T_i - T_a) - \frac{(3\lambda + 2\mu) T_a}{K} \cdot \frac{\partial}{\partial t} \left(\frac{w}{R} + \frac{\partial u}{\partial x} \right) = 0. \end{aligned} \quad (15)$$

$$\begin{aligned} \frac{\partial^2 T_1}{\partial x^2} - \frac{1}{a} \cdot \frac{\partial T_1}{\partial t} - T_1 \left(\frac{h_i + h_o}{Kh} + \frac{h}{12} \right) + T_o \left(\frac{h_i - h_o}{Kh} \right) + T_2 \left(\frac{h_i - h_o}{2K} + \frac{1}{R} \right) \\ - \frac{h_i}{9Kh} (T_i - T_a) + \frac{(3\lambda + 2\mu)}{K} \alpha T_a \cdot \frac{\partial^2 w}{\partial t \partial x^2} = 0. \end{aligned} \quad (16)$$

$$\begin{aligned} \frac{\partial^2 T_o}{\partial x^2} - \frac{1}{a} \cdot \frac{\partial T_o}{\partial t} - \frac{2}{Kh} (h_i + h_o) T_o + \frac{h}{6} \cdot \frac{\partial^2 T_1}{\partial x^2} - \frac{2h}{12a} \cdot \frac{\partial T_1}{\partial t} - \left[\frac{2h}{4K} (h_i + h_o) + \frac{1}{R} \right] T_2 \\ + \left[\frac{2}{\lambda K} (h_i - h_o) + \frac{1}{R} \right] T_1 - \frac{(3\lambda + 2\mu)}{K} \alpha T_a \cdot \frac{\partial}{\partial t} \left(\frac{w}{R} + \frac{\partial u}{\partial x} \right) + \frac{2h_i}{Kh} (T_i - T_a) = 0. \end{aligned} \quad (17)$$

در روابط فوق $T_1(x,t)$ ، $T_2(x,t)$ و $T_o(x,t)$ ضرایب تابع تقریب زده شده برای توزیع درجه حرارت در جهت ضخامت می‌باشند که به صورت زیر تعریف شده است:

$$T(x,z,t) - T_a = T_1(x,t) + z \cdot T_2(x,t) \quad (18)$$

معادله انرژی حاکم بر مسئله در دستگاه مختصات قطبی به صورت زیر می‌باشد:

$$KT_{,ii} + Q = (3\lambda + 2\mu) \alpha T \dot{\varepsilon}_{kk} + \rho c \dot{T} \Rightarrow \quad (18)$$

$$K \left(\frac{\partial^2 T}{\partial x^2} + \frac{1}{R+z} \cdot \frac{\partial T}{\partial z} + \frac{1}{(R+z)^2} \cdot \frac{\partial^2 T}{\partial \theta^2} + \frac{\partial^2 T}{\partial x^2} \right) +$$

$$Q = (3\lambda + 2\mu) \alpha T_a (\dot{\varepsilon}_{xx} + \dot{\varepsilon}_{\theta\theta} + \dot{\varepsilon}_{zz}) + \rho c \dot{T} \quad (19)$$

بدلیل کوچک بودن ضخامت پوسته در مقایسه با شعاع آن ($R \ll z$) و با توجه به متقارن بودن مسئله ($\frac{\partial T}{\partial \theta} = 0$)، و با جایگذاری مقادیر کرنش‌ها بر حسب تغییر مکان‌های u و w و با فرض عدم تولید انرژی در واحد حجم جسم ($Q = 0$)، رابطه (۱۹) به شکل زیر در می‌آید:

$$\begin{aligned} K \left(\frac{\partial^2 T}{\partial z^2} + \frac{1}{R} \cdot \frac{\partial T}{\partial z} + \frac{\partial^2 T}{\partial x^2} \right) = \\ (3\lambda + 2\mu) \alpha T_a \frac{\partial}{\partial t} \left(\frac{\partial u}{\partial x} - z \frac{\partial^2 w}{\partial x^2} + \frac{w}{R} \right) + \rho c \frac{\partial T}{\partial t} \end{aligned} \quad (19)$$

$$\begin{aligned}
 w^{(e)}(x,t) &= \alpha_1(t) + \alpha_2(t) \cdot x + \alpha_3(t) \cdot x^2 + \alpha_4(t) \cdot x^3 \\
 u^{(e)}(x,t) &= \alpha_5(t) + \alpha_6(t) \cdot x \\
 T_{\cdot i}^{(e)}(x,t) &= \alpha_7(t) + \alpha_8(t) \cdot x \\
 T_{\cdot 1}^{(e)}(x,t) &= \alpha_9(t) + \alpha_{10}(t) \cdot x \\
 T_{\cdot 2}^{(e)}(x,t) &= \alpha_{11}(t) + \alpha_{12}(t) \cdot x
 \end{aligned} \tag{۲۰}$$

با توجه به اینکه برای w چهار ثابت زمانی ($\alpha_1(t)$ تا $\alpha_4(t)$) وجود دارد و اجزاء بکار رفته دوگرهی می‌باشند، لذا برای هر جزء روی هر گره بایستی دو مقدار وجود داشته باشد تا بتوان ضرایب ($\alpha_1(t)$ تا $\alpha_4(t)$) را بدست آورد. دو درجه آزادی مربوطه w و $\frac{dw}{dx}$ در نظر گرفته می‌شوند. برای u ، T_1 و T_2 مقادیر توابع در هر گره به عنوان درجه آزادی مربوطه آن گره در نظر گرفته شده و با استفاده از مقادیر گرهی، توابع شکل برای روابط (۲۰) بدست آمده و توابع تقریب زده شده به صورت زیر تبدیل می‌گردند:

$$\begin{aligned}
 w^{(e)}(x,t) &= H_{oi}w_i + H_{vi}\theta_i + H_{oj}w_j + H_{vj}\theta_j = \langle H \rangle \{ w \}^{(e)} \\
 u^{(e)}(x,t) &= N_iu_i + N_ju_j = \langle N \rangle \{ u \}^{(e)} \\
 T_{\cdot i}^{(e)}(x,t) &= N_iT_{\cdot i} + N_jT_{\cdot j} = \langle N \rangle \{ T_{\cdot i} \}^{(e)} \\
 T_{\cdot 1}^{(e)}(x,t) &= N_iT_{\cdot i} + N_jT_{\cdot j} = \langle N \rangle \{ T_{\cdot 1} \}^{(e)} \\
 T_{\cdot 2}^{(e)}(x,t) &= N_iT_{\cdot i} + N_jT_{\cdot j} = \langle N \rangle \{ T_{\cdot 2} \}^{(e)}
 \end{aligned} \tag{۲۱}$$

که $\langle H \rangle$ و $\langle N \rangle$ توابع شکل بدست آمده می‌باشند:

$$\begin{aligned}
 \langle H \rangle &= \begin{Bmatrix} 1-2s^2 & (1-2s^2+s^3)I & (2s^2-2s^3) & (-s^2+s^3)I \end{Bmatrix} \\
 \langle N \rangle &= \begin{Bmatrix} 1-s & s \\ 1-s & s \end{Bmatrix} \\
 \{ w \}^{(e)} &= \begin{Bmatrix} w_i \\ \theta_i \\ w_j \\ \theta_j \end{Bmatrix}; \quad \{ u \}^{(e)} = \begin{Bmatrix} u_i \\ u_j \end{Bmatrix}; \quad \{ T_{\cdot i} \}^{(e)} = \begin{Bmatrix} T_{\cdot i} \\ T_{\cdot j} \end{Bmatrix}; \\
 \{ T_{\cdot 1} \}^{(e)} &= \begin{Bmatrix} T_{\cdot 1i} \\ T_{\cdot 1j} \end{Bmatrix} \quad ; \quad \{ T_{\cdot 2} \}^{(e)} = \begin{Bmatrix} T_{\cdot 2i} \\ T_{\cdot 2j} \end{Bmatrix}
 \end{aligned}$$

کاربرد روش مانده وزنی کاهش یافته گالرکین برای جزئی از میدان حل روی معادلات (۱۹) به صورت زیر خواهد بود:

$$\int_{\cdot}^l \left[\frac{\partial^4 w}{\partial x^4} + A_1 \frac{\partial^4 w}{\partial x^2 \partial t^2} + A_2 \frac{\partial^2 w}{\partial t^2} + A_3 w + A_4 \frac{\partial u}{\partial x} - A_5 T_{\cdot i} + A_6 \frac{\partial^2 T_{\cdot i}}{\partial x^2} - A_7 T_{\cdot 1} - A_8 P_z \right]$$

$$H_{mn} dx = 0 \quad m = 0, 1 \quad n = i, j$$

در معادلات فوق a ضریب نفوذ حرارتی می‌باشد که از رابطه زیر بدست می‌آید:

$$a = \frac{K}{\rho c} \tag{۱۸}$$

در نتیجه معادلات حاکم بر مسئله دینامیکی ترمولاستیسیته روی استوانه جدار نازک به صورت زیر می‌باشد:

$$\begin{aligned}
 \frac{\partial^4 w}{\partial x^4} + A_1 \frac{\partial^4 w}{\partial x^2 \partial t^2} + A_2 \frac{\partial^2 w}{\partial t^2} + A_3 w + A_4 \frac{\partial u}{\partial x} - A_5 T_{\cdot i} + \\
 A_6 \frac{\partial^2 T_{\cdot i}}{\partial x^2} - A_7 T_{\cdot 1} - A_8 P_z &= A_9 P_z \\
 \frac{\partial^2 u}{\partial x^2} - A_9 \frac{\partial^2 u}{\partial t^2} + A_1 \frac{\partial w}{\partial x} - A_{10} \frac{\partial T_{\cdot i}}{\partial x} - A_{11} \frac{\partial T_{\cdot 1}}{\partial x} &= \\
 -A_{12} P_x & \\
 \frac{\partial^2 T_{\cdot i}}{\partial x^2} - A_{13} \frac{\partial T_{\cdot i}}{\partial t} - A_{14} T_{\cdot i} + A_{15} T_{\cdot 1} + A_{16} \frac{\partial^2 T_{\cdot 1}}{\partial x^2} - \\
 A_{17} \frac{\partial T_{\cdot 1}}{\partial t} - A_{18} T_{\cdot 1} - A_{19} \frac{\partial w}{\partial t} - A_{20} \frac{\partial^2 u}{\partial x \partial t} &= -A_{21} T_{\cdot i} \\
 \frac{\partial^2 T_{\cdot 1}}{\partial x^2} - A_{22} \frac{\partial T_{\cdot 1}}{\partial t} - A_{23} T_{\cdot 1} + A_{24} T_{\cdot 2} + A_{25} T_{\cdot i} + A_{26} T_{\cdot 2} + \\
 A_{27} \frac{\partial^2 w}{\partial x^2 \partial t} &= A_{28} T_{\cdot i} \\
 \frac{\partial^2 T_{\cdot 2}}{\partial x^2} - A_{29} \frac{\partial T_{\cdot 2}}{\partial t} - A_{30} T_{\cdot 2} + A_{31} \frac{\partial^2 T_{\cdot 2}}{\partial x^2} - A_{32} \frac{\partial T_{\cdot 2}}{\partial t} - \\
 A_{33} T_{\cdot 2} + A_{34} T_{\cdot 1} - A_{35} \frac{\partial w}{\partial t} - A_{36} \frac{\partial^2 u}{\partial x \partial t} &= -A_{37} T_{\cdot i}
 \end{aligned} \tag{۱۹}$$

در روابط فوق w ، u ، $T_{\cdot i}$ ، $T_{\cdot 1}$ و $T_{\cdot 2}$ بی بعد بوده و ضرایب بی بعد A_1 تا A_{37} نیز در مراجع ۸ و ۹ آورده شده‌اند.

تشکیل روابط حاکم با روش مانده‌های وزنی کاهش یافته گالرکین

تابع w ، u ، w و $T_{\cdot 2}$ با تقریب نوع کانترویج و با توجه به بالاترین مرتبه مشتقهای ظاهرشده در معادلات دیفرانسیل حاکم بر مسئله به صورت زیر بر روی یک جزء از میدان حل تقریب زده می‌شود:

$$[B_{\cdot 9}]\{u\} + [B_{\cdot 10}]\{\ddot{u}\} + [B_{\cdot 11}]\{w\} + [B_{\cdot 12}]\{T_{\cdot}\} + [B_{\cdot 13}]\{T_{\cdot}\} = [B_{\cdot 14}]\{P_x\} + [B_{\cdot 15}]$$

$$\begin{aligned}[B_{\cdot 16}]\{\dot{u}\} + [B_{\cdot 17}]\{\dot{w}\} + [B_{\cdot 18}]\{T_{\cdot}\} + [B_{\cdot 19}]\{\dot{T}_{\cdot}\} + \\ [B_{\cdot 20}]\{T_{\cdot}\} + [B_{\cdot 21}]\{T_{\cdot}\} + [B_{\cdot 22}]\{\dot{T}_{\cdot}\} = \\ [B_{\cdot 23}]\{T_i\} + [B_{\cdot 24}]\end{aligned}$$

$$\begin{aligned}[B_{\cdot 25}]\{\dot{w}\} + [B_{\cdot 26}]\{T_{\cdot}\} + [B_{\cdot 27}]\{T_{\cdot}\} + [B_{\cdot 28}]\{\dot{T}_{\cdot}\} + \\ [B_{\cdot 29}]\{T_{\cdot}\} = [B_{\cdot 30}]\{T_i\} + [B_{\cdot 31}]\end{aligned}$$

$$\begin{aligned}[B_{\cdot 32}]\{\dot{u}\} + [B_{\cdot 33}]\{\dot{w}\} + [B_{\cdot 34}]\{T_{\cdot}\} + [B_{\cdot 35}]\{\dot{T}_{\cdot}\} + \\ [B_{\cdot 36}]\{T_{\cdot}\} + [B_{\cdot 37}]\{T_{\cdot}\} + [B_{\cdot 38}]\{\dot{T}_{\cdot}\} = \\ [B_{\cdot 39}]\{T_i\} + [B_{\cdot 40}]\end{aligned}\quad (26)$$

تعریف ماتریس‌های $[B_{\cdot i}]$ در مرجع ۸ و ۹ ذکر گردیده‌اند. در نهایت با یکی کردن معادلات فوق، دستگاه معادلات دیفرانسیل مرتبه دوم از زمان برای یک جزء به صورت زیر بدست می‌آید:

$$[M]^{(e)}\{\ddot{d}\} + [C]^{(e)}\{\dot{d}\} + [K]^{(e)}\{d\} = \{F\}^{(e)} \quad (27)$$

که در آن $\{d\}$ به صورت زیر می‌باشد:

$$\{d\} = \{w_i \theta_i u_i T_{\cdot i} T_{\cdot i} T_{\cdot i} w_j \theta_j u_j T_{\cdot j} T_{\cdot j} T_{\cdot j}\}^T \quad (28)$$

از تشکیل معادله فوق برای کلیه اجزاء سیستم و سرهم کردن آنها، دستگاه معادلات کلی استاندارد مرتبه دوم از زمان حاکم بر مسئله بدست می‌آید.

حل دستگاه معادلات با استفاده از روش نیومارک

پس از بدست آوردن دستگاه معادلات کلی استاندارد مرتبه دوم از زمان حاکم بر مسئله، با استفاده از روش نیومارک مقادیر پارامترهای گرهی بدست می‌آید. برای این منظور لازم است تا مقادیر تغییرمکان و سرعت در لحظه صفر معین باشد (منظور از تغییرمکان و سرعت بترتیب مقادیر پارامترهای گرهی و تغییرات آنها نسبت به زمان می‌باشد) و آنگاه با استفاده از معادلات مربوط به روش نیومارک، شتاب اولیه را محاسبه کرده و از آن برای محاسبه مقادیر تغییرمکان و سرعت در لحظه بعدی استفاده نمود.

با توجه به اینکه معادله انرژی یک معادله دیفرانسیل مرتبه اول می‌باشد، بنابراین سطرهای متناظر معادله انرژی در دستگاه

$$\int_0^l \left[\frac{\partial^2 u}{\partial x^2} - A_9 \frac{\partial^2 u}{\partial t^2} + A_{10} \frac{\partial w}{\partial x} - A_{11} \frac{\partial T_{\cdot}}{\partial x} - A_{12} \frac{\partial T_{\cdot}}{\partial x} + \right.$$

$$A_{13} P_x \right] N_m dx = 0 \quad m=i,j$$

$$\int_0^l \left[\frac{\partial^2 T_{\cdot}}{\partial x^2} - A_{14} \frac{\partial T_{\cdot}}{\partial t} - A_{15} T_{\cdot} + A_{16} T_{\cdot} + A_{17} \frac{\partial^2 T_{\cdot}}{\partial x^2} - \right.$$

$$\left. A_{18} \frac{\partial T_{\cdot}}{\partial t} - A_{19} T_{\cdot} - A_{20} \frac{\partial w}{\partial t} - A_{21} \frac{\partial^2 u}{\partial x \partial t} + A_{22} T_i \right] = 0$$

$$m=i,j$$

$$\int_0^l \left[\frac{\partial^2 T_{\cdot}}{\partial x^2} - A_{23} \frac{\partial T_{\cdot}}{\partial t} - A_{24} T_{\cdot} + A_{25} T_{\cdot} + A_{26} T_{\cdot} + \right.$$

$$\left. A_{27} \frac{\partial w}{\partial x} - A_{28} T_i \right] N_m dx = 0 \quad m=i,j$$

$$\int_0^l \left[\frac{\partial^2 T_{\cdot}}{\partial x^2} - A_{29} \frac{\partial T_{\cdot}}{\partial t} - A_{30} T_{\cdot} + A_{31} \frac{\partial^2 T_{\cdot}}{\partial x^2} - A_{32} \frac{\partial T_{\cdot}}{\partial t} - \right.$$

$$\left. A_{33} T_{\cdot} + A_{34} T_{\cdot} - A_{35} \frac{\partial w}{\partial t} - A_{36} \frac{\partial^2 u}{\partial x \partial t} + \right.$$

$$A_{37} T_i \right] N_m dx = 0 \quad m=i,j$$

$$(22)$$

برای اعمال فشار، برش و درجه حرارت متغیر در جهت طول استوانه، بارهای وارد بر هر جزء به صورت زیر تقریب زده می‌شوند:

$$P_z^{(e)}(x,t) = (1-s)P_{zi}(t) + sP_{zj}(t) = \langle N \rangle \{P_z\}^{(e)} \quad (23)$$

$$P_x^{(e)}(x,t) = (1-s)P_{xi}(t) + sP_{xj}(t) = \langle N \rangle \{P_x\}^{(e)} \quad (24)$$

$$T_i^{(e)}(x,t) = (1-s)T_{ii}(t) + sT_{ij}(t) = \langle N \rangle \{T_i\}^{(e)} \quad (25)$$

با قراردادن معادلات فوق در معادلات (۲۲) و استفاده از انتگرال‌گیری جزء به جزء برای تبدیل به شکل کاوهش یافته، معادلات زیر بدست می‌آیند:

$$\begin{aligned}[B_{\cdot 1}]\{u\} + [B_{\cdot 2}]\{w\} + [B_{\cdot 3}]\{\ddot{w}\} + [B_{\cdot 4}]\{T_{\cdot}\} + \\ [B_{\cdot 5}]\{T_{\cdot}\} + [B_{\cdot 6}]\{T_{\cdot}\} = [B_{\cdot 7}]\{P_z\} + [B_{\cdot 8}]\end{aligned}$$

نظر گرفته شده برای این پارامترها استفاده می‌گردد. بدین معنا که از توابع تقریب استفاده شده مشتق گرفته و با توجه به معلوم بودن ضرایب این توابع بر حسب پارامترهای گرهی، مقدار مشتق محاسبه می‌گردد. (البته در گرههای مشترک بین دو جزء مقدار بدست آمده از دو جزء میانگین‌گیری می‌شود). به عنوان مثال برای محاسبه M_x در گره n در یک زمان مشخص t احتیاج به مقدار $\frac{\partial^2 w}{\partial x^2}$ می‌باشد. مقدار $\frac{\partial^2 w}{\partial x^2}$ در گره n با استفاده از توابع تقریب اجزاء ۱ - n و n از رابطه زیر بدست می‌آید :

$$\Rightarrow \left. \frac{\partial^2 w}{\partial x^2} \right|_n = 3\left(\frac{L}{l}\right)^2 w_{n-1} + \left(\frac{L}{l}\right) \theta_{n-1} - 6\left(\frac{L}{l}\right)^2 w_n + 3\left(\frac{L}{l}\right)^2 w_{n+1} - \left(\frac{L}{l}\right) \theta_{n+1}$$

نتایج

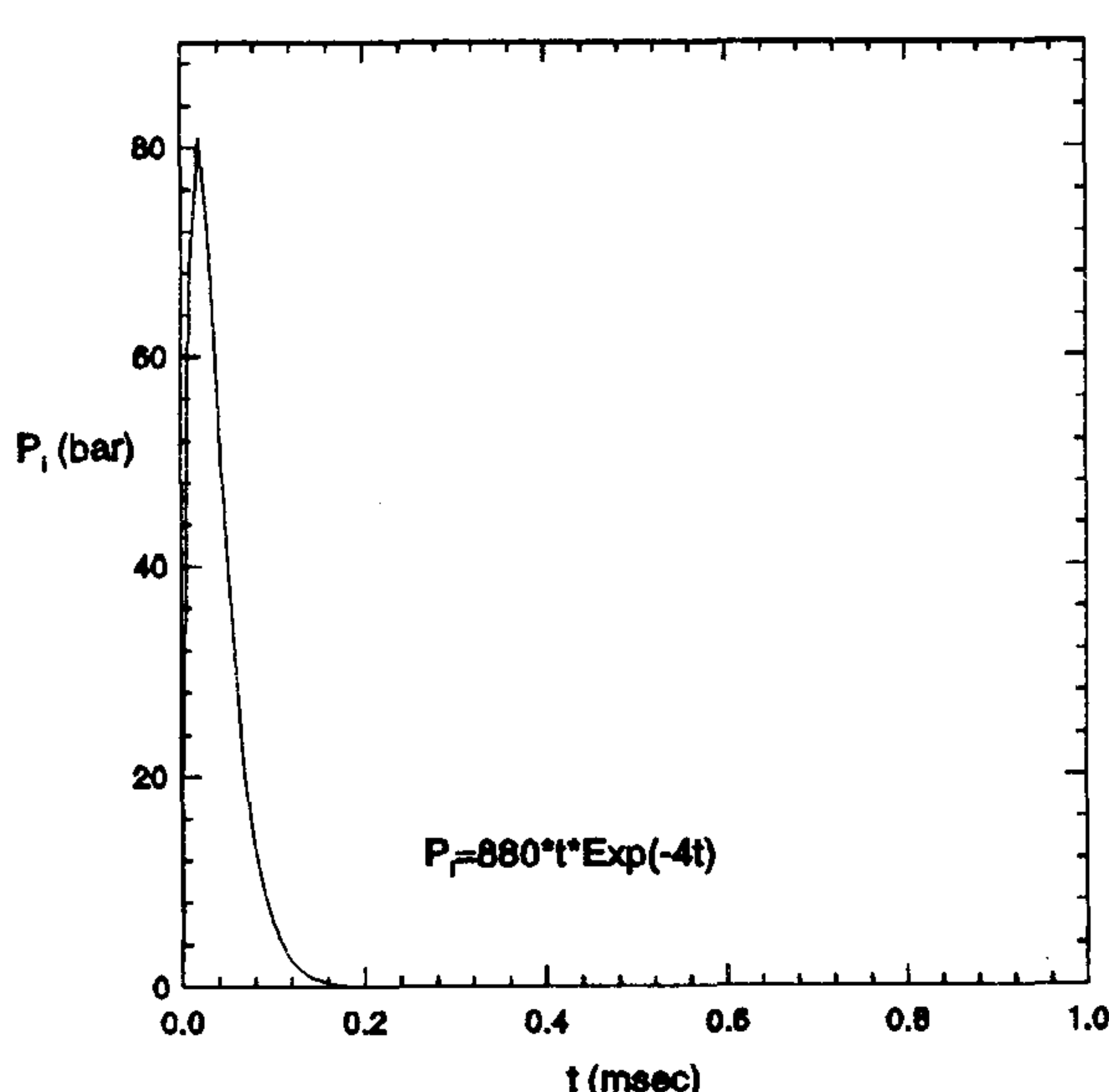
در این بخش یک پوسته استوانه‌ای دو سر گیردار تحت شرایط مختلف مورد بررسی قرار می‌گیرد. اشکال (۲) تا (۵) منحنی‌های بارهای وارد بر پوسته استوانه‌ای می‌باشند که به طور مجزا مورد بررسی قرار گرفته‌اند. مشخصاتی که برای این استوانه در نظر گرفته شده است به صورت زیر می‌باشد :

$$R=0.1085 \text{ m} , L=0.4 \text{ m} , h=2 \text{ mm}$$

$$E=200 \text{ GPa} , \alpha=11/8 \times 10^{-6} \frac{1}{K} , \nu=0.3$$

$$\rho=8000 \frac{\text{Kg}}{\text{m}^3} , K=50 \frac{\text{W}}{\text{mK}} , T_a=300 \text{ K}$$

$$C=500 \frac{J}{\text{KgK}} , h_i=h_o=200 \frac{\text{W}}{\text{m}^2\text{K}}$$



شکل ۲: منحنی شوک فشار اعمال شده در مثال ۱.

معادلات کلی دارای عبارت شتاب نبوده و در نتیجه عناصر ماتریس جرم سطرهای متناظر همگی صفر می‌باشند. در نتیجه از این معادله نمی‌توان برای محاسبه شتاب اولیه متناظر پارامترهای T_1 و T_2 استفاده کرد. همچنین وجود این سطرهای صفر در ماتریس جرم موجب صفر شدن دترمینان ماتریس جرم کل سیستم و عدم امکان حل معادلات برای محاسبه شتاب اولیه پارامترهای w , θ , u می‌گردد. برای رفع این مشکل ابتدا سطرهای متناظر معادله انرژی از کل دستگاه معادلات حذف می‌گردد تا معادلات از حالت منفرد خارج گردیده و بتوان مقادیر شتاب اولیه پارامترهای w , θ , u را بدست آورد.

برای محاسبه شتاب اولیه پارامترهای T_1 , T_2 ابتدا احتیاج به دانستن سرعت اولیه آنها می‌باشد، زیرا با توجه به اینکه معادله دیفرانسیل انرژی از مرتبه اول می‌باشد نمی‌توان تغییر مکان و سرعت در لحظه اولیه را دلخواه فرض کرد. بلکه این دو به یکدیگر وابسته بوده و باید با توجه به معادله دیفرانسیل حاکمه و فرض معلوم بودن یکی از آنها دیگری را محاسبه کرد. با توجه به این مطلب ابتدا می‌باشد دستگاه معادلات زیر که همان معادله انرژی می‌باشد برای لحظه صفر حل گردد:

$$[C]\dot{d} + [K]\{d\} = \{F\} \Rightarrow [C]\dot{d} = \{F\} - [K]\{d\}$$

البته در رابطه فوق $\{d\}$ فقط شامل پارامترهای T_1 , T_2 می‌باشد و متناظر با آن $[C]$, $[K]$ و $\{F\}$ نیز فقط شامل ضرایب بدست آمده از معادله انرژی می‌باشند. برای بدست آوردن شتاب اولیه پارامترهای T_1 و T_2 احتیاج است تا از معادله فوق یکبار مشتق گرفته شود تا عبارت شتاب در معادله ظاهر گردد. آنگاه با استفاده از رابطه بدست آمده و مقدار سرعت اولیه بدست آمده، مقدار شتاب اولیه پارامترهای T_1 و T_2 نیز بدست می‌آیند. در استفاده از روش نیومارک، پارامترهای β و γ که مشخصه‌های دقت و پایداری می‌باشند، بر اساس روش شتاب متوسط انتخاب می‌گردند، یعنی:

$$\beta = \frac{1}{4} ; \quad \gamma = \frac{1}{2}$$

همزمان با بدست آوردن پارامترهای گرهی w , θ , u , T_1 , T_2 در زمان‌های مختلف می‌باشد نیروها، گشتاورها (در واحد طول) و تنش‌های طولی و محیطی نیز محاسبه گردند. برای این منظور می‌باشد مشتقهای پارامترهای گرهی مورد نیاز نیز محاسبه گردد.

برای محاسبه مشتقهای پارامترهای گرهی از توابع تقریب در

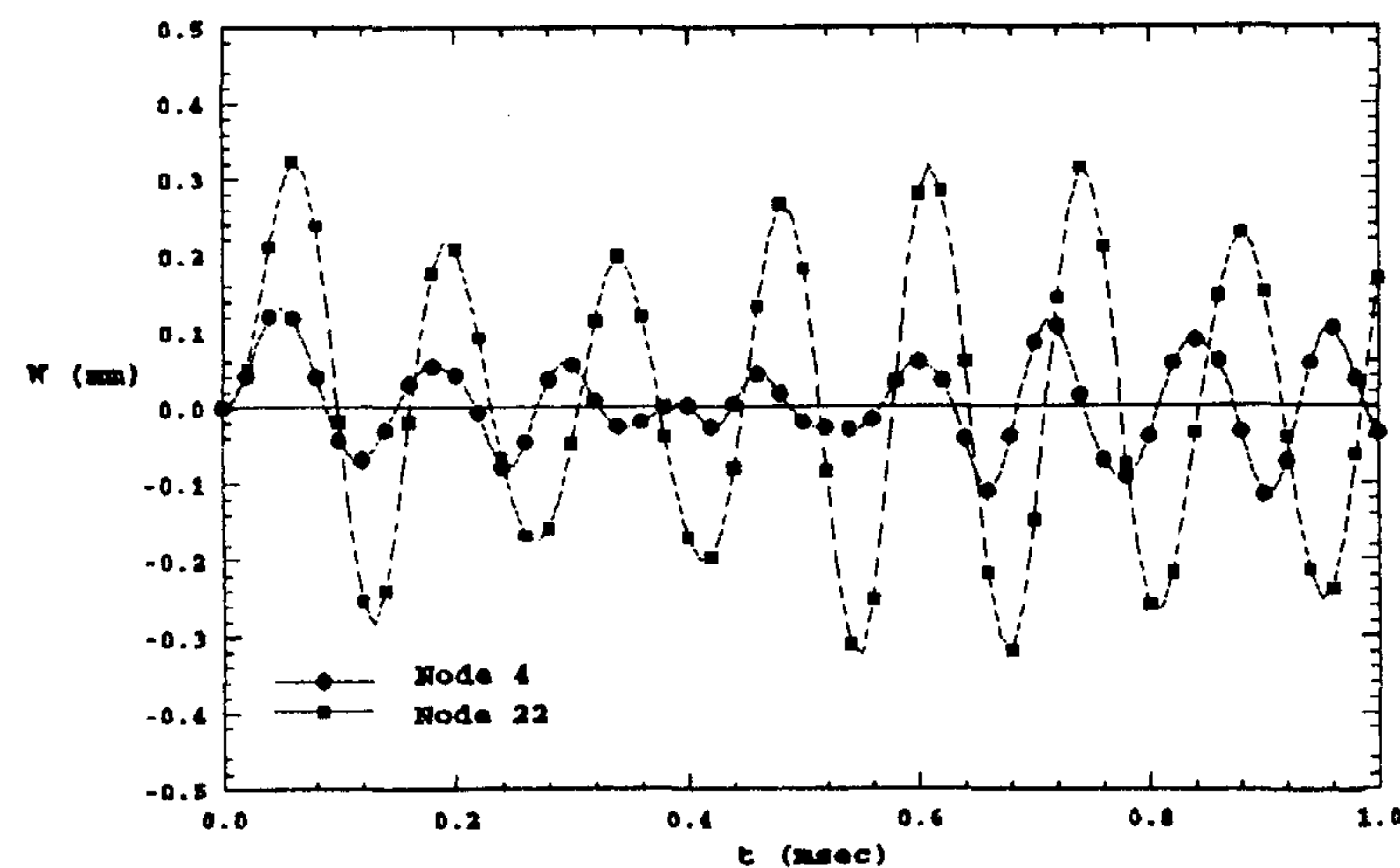
شوك فشار یکنواختی به معادله زیر باشد بررسی می شود :

$$P_z(\bar{t}) = 88 \cdot \bar{t} \cdot \text{Exp}(-4\bar{t})$$

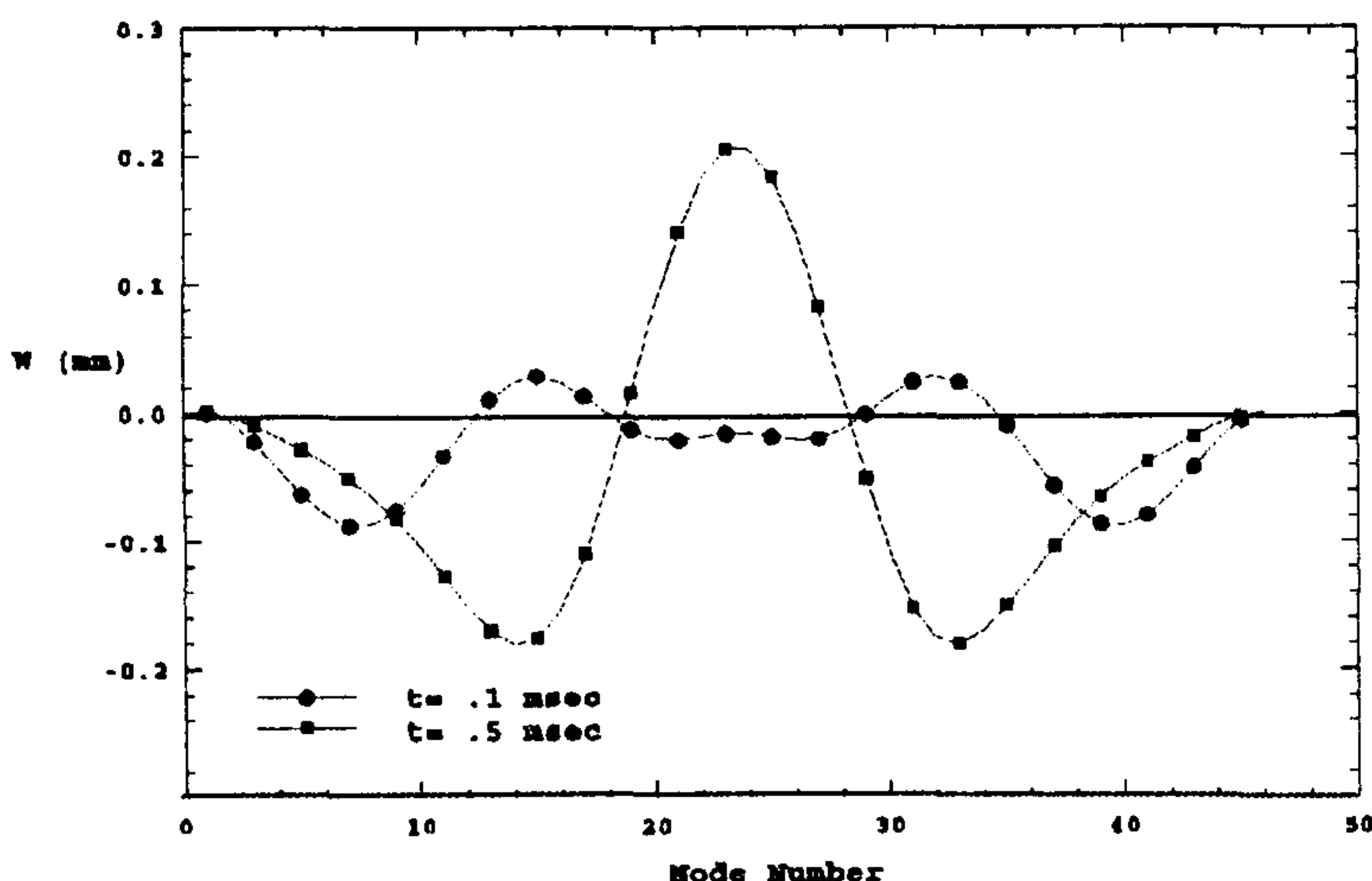
که در آن $P_z(\bar{t})$ فشار برحسب بار و \bar{t} زمان بی بعد می باشد که به صورت زیر با زمان بُعددار رابطه دارد :

$$\bar{t} = \frac{t}{L} \sqrt{\frac{E}{\rho(1-\nu^2)}}$$

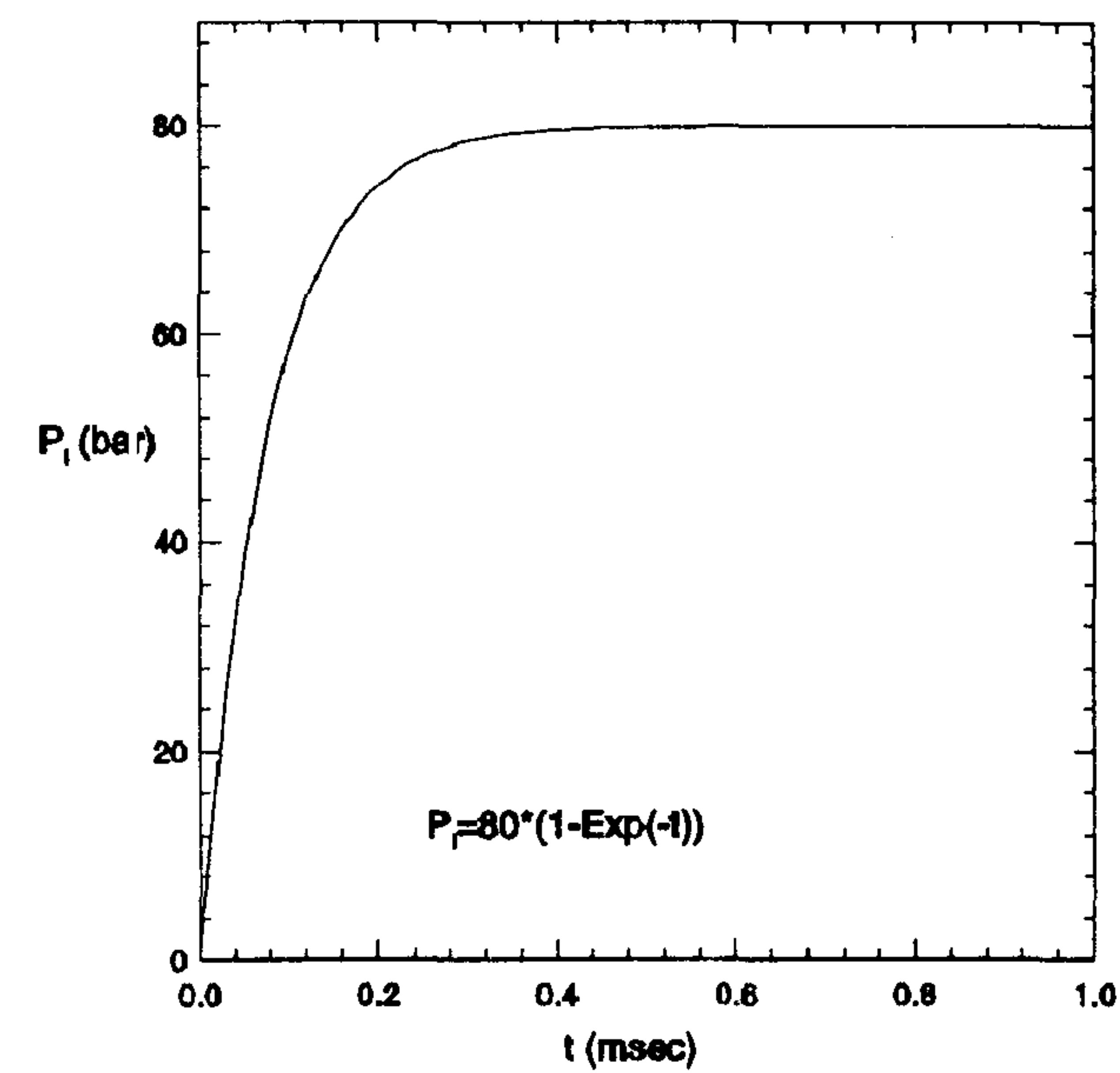
شکل (۲) نمودار تغییرات شوك مذکور را بر حسب زمان نشان می دهد. همانگونه که در این شکل مشهود است، فشار داخل استوانه در مدت زمان $2/0$ میلی ثانیه به ماکزیمم مقدار خود یعنی 80 bar رسیده و سپس تا مقدار صفر کاهش می یابد. محاسبات برای مدت زمان 1 میلی ثانیه و با گام زمانی $1/01$ میلی ثانیه انجام گرفته است. تعداد اجزای به کار رفته در طول استوانه 45 عدد می باشد.



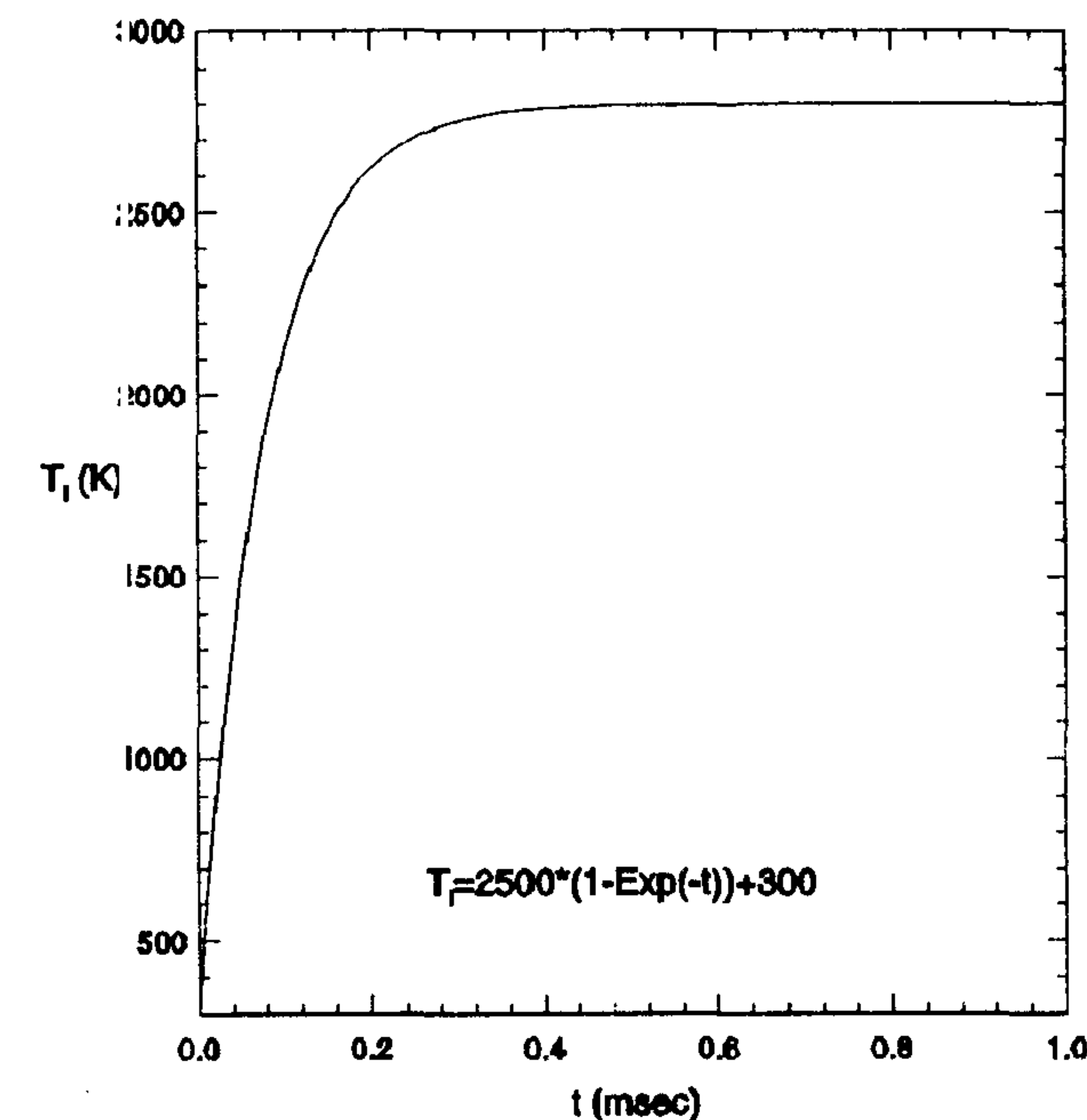
شکل ۲: نمودار تغییرات w در گرههای ۴ و ۲۲ بر حسب زمان (مثال ۱).



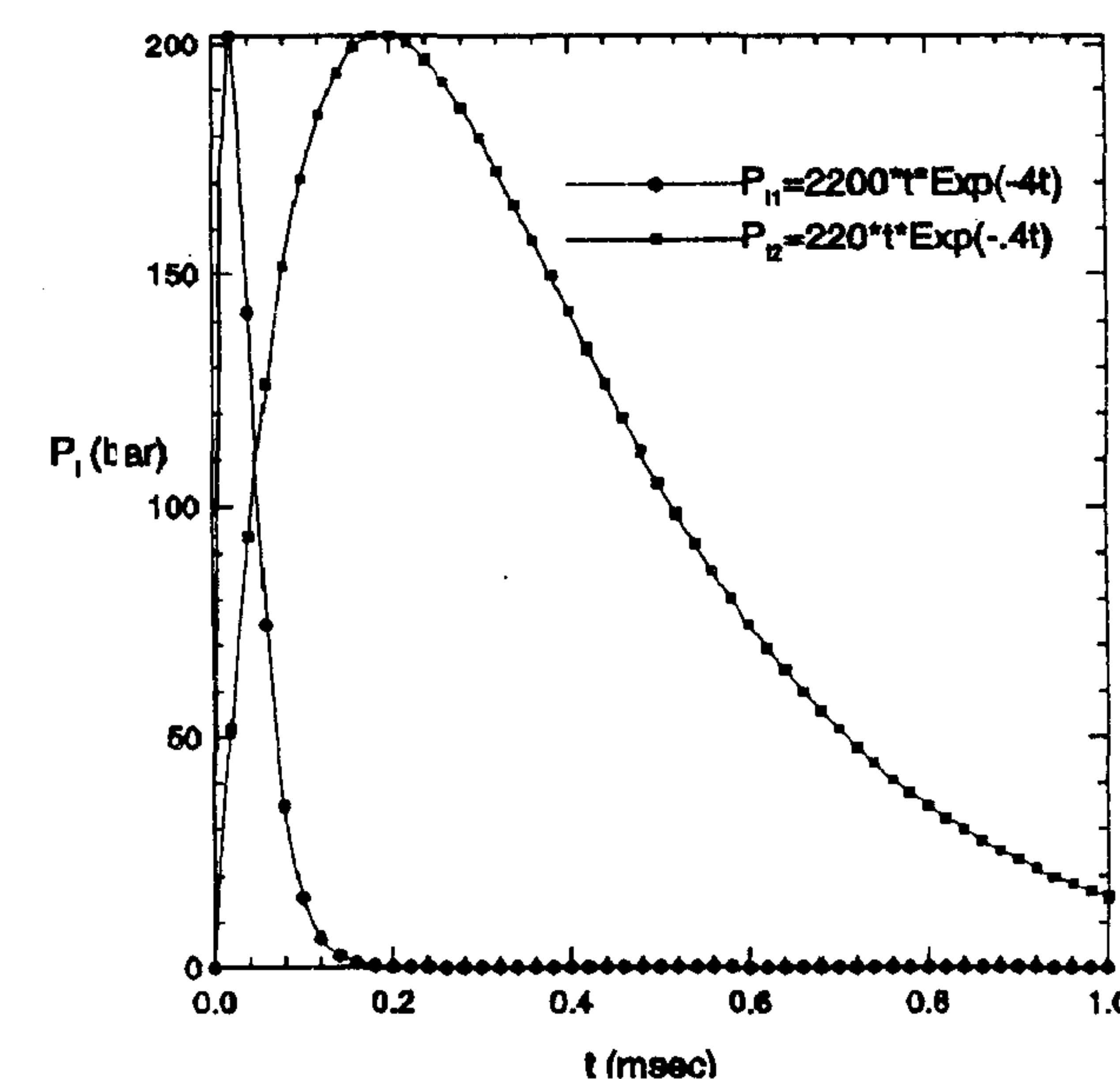
شکل ۳: نمودار تغییرات w در امتداد استوانه در زمان های $1/0$ و $5/0$ میلی ثانیه (مثال ۱).



شکل ۴: منحنی شوك حرارت اعمال شده در مثال ۲.

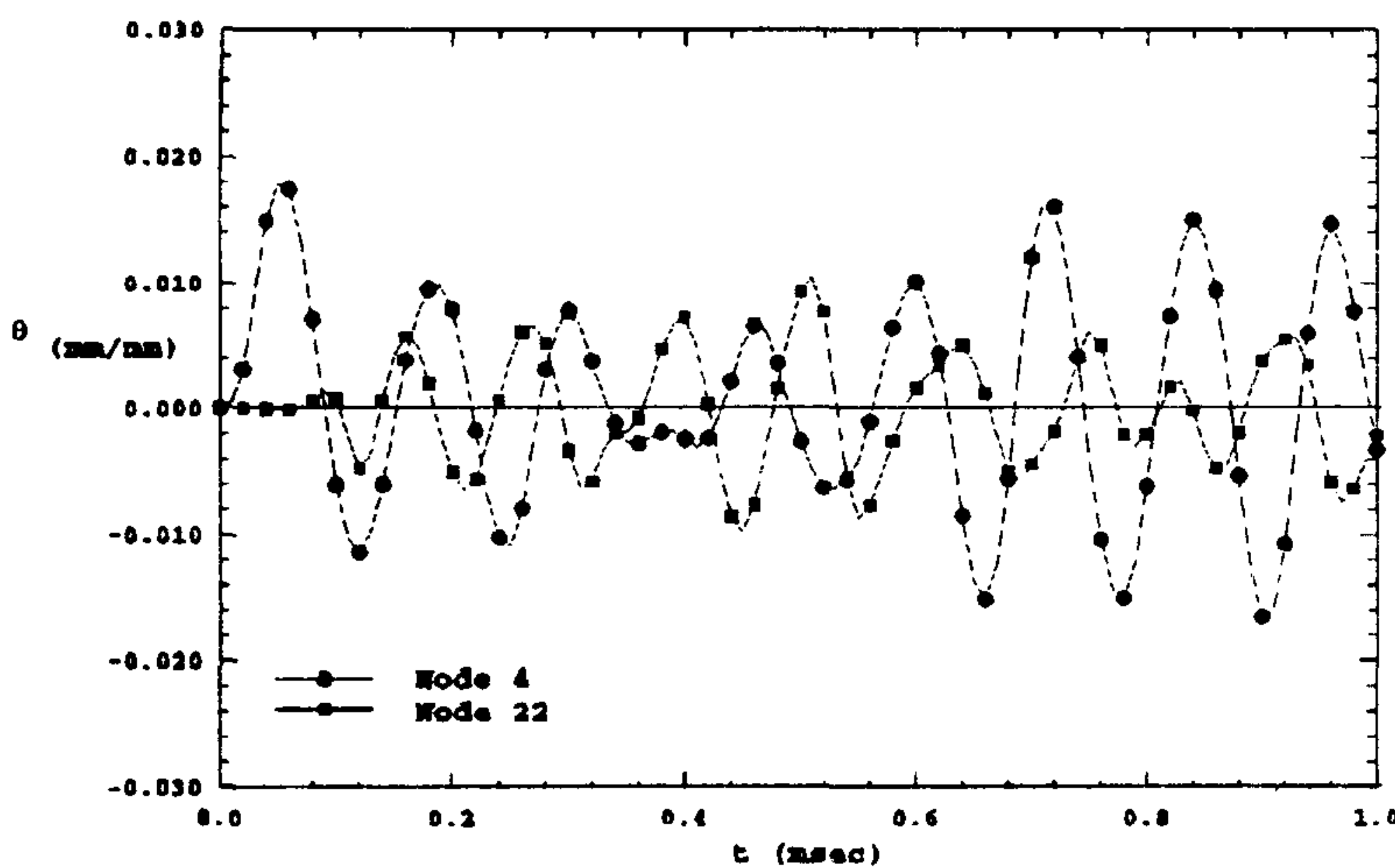


شکل ۵: منحنی های شوك های فشار اعمال شده در مثال ۴.

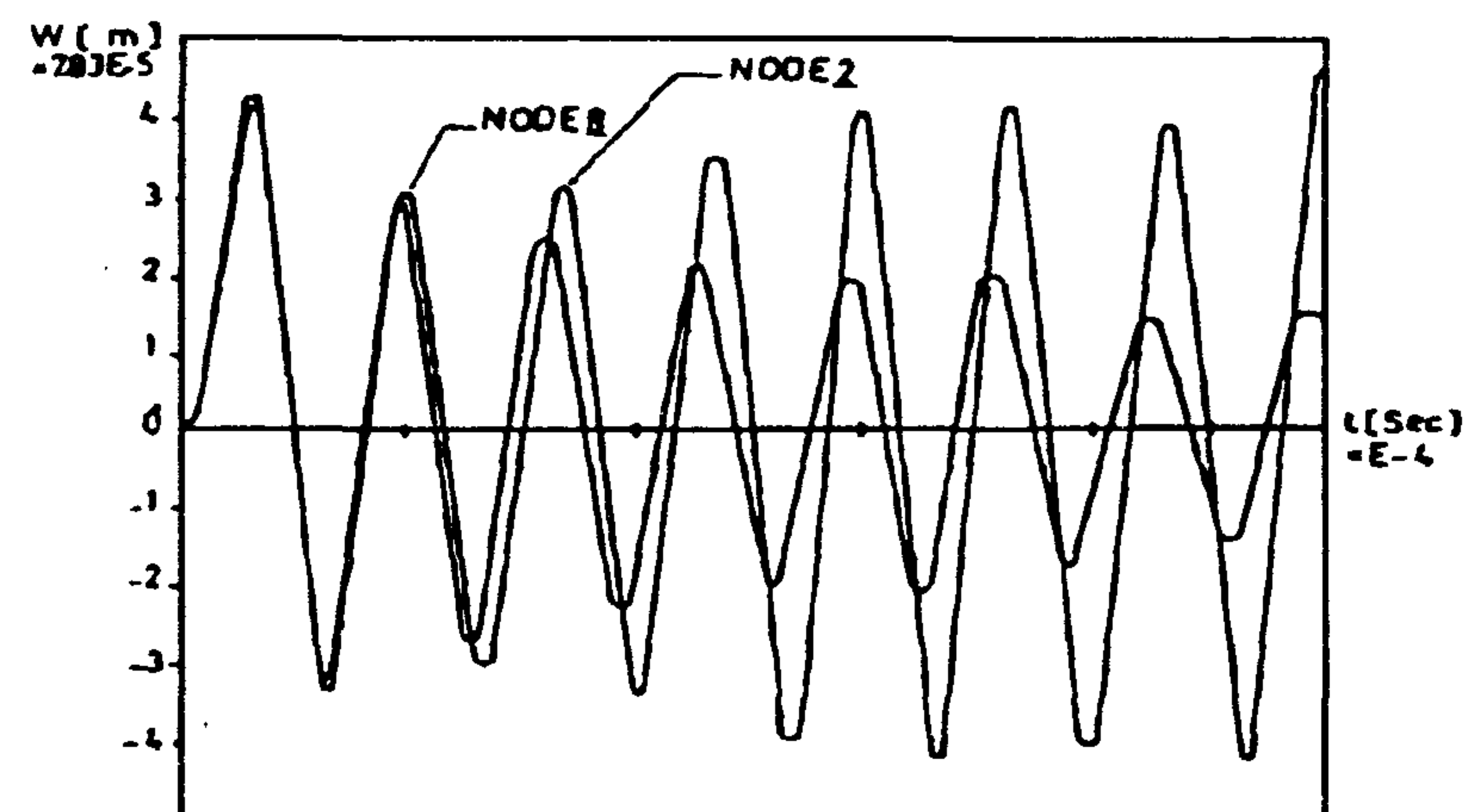


شکل ۶: منحنی های شوك های فشار اعمال شده در مثال ۴.

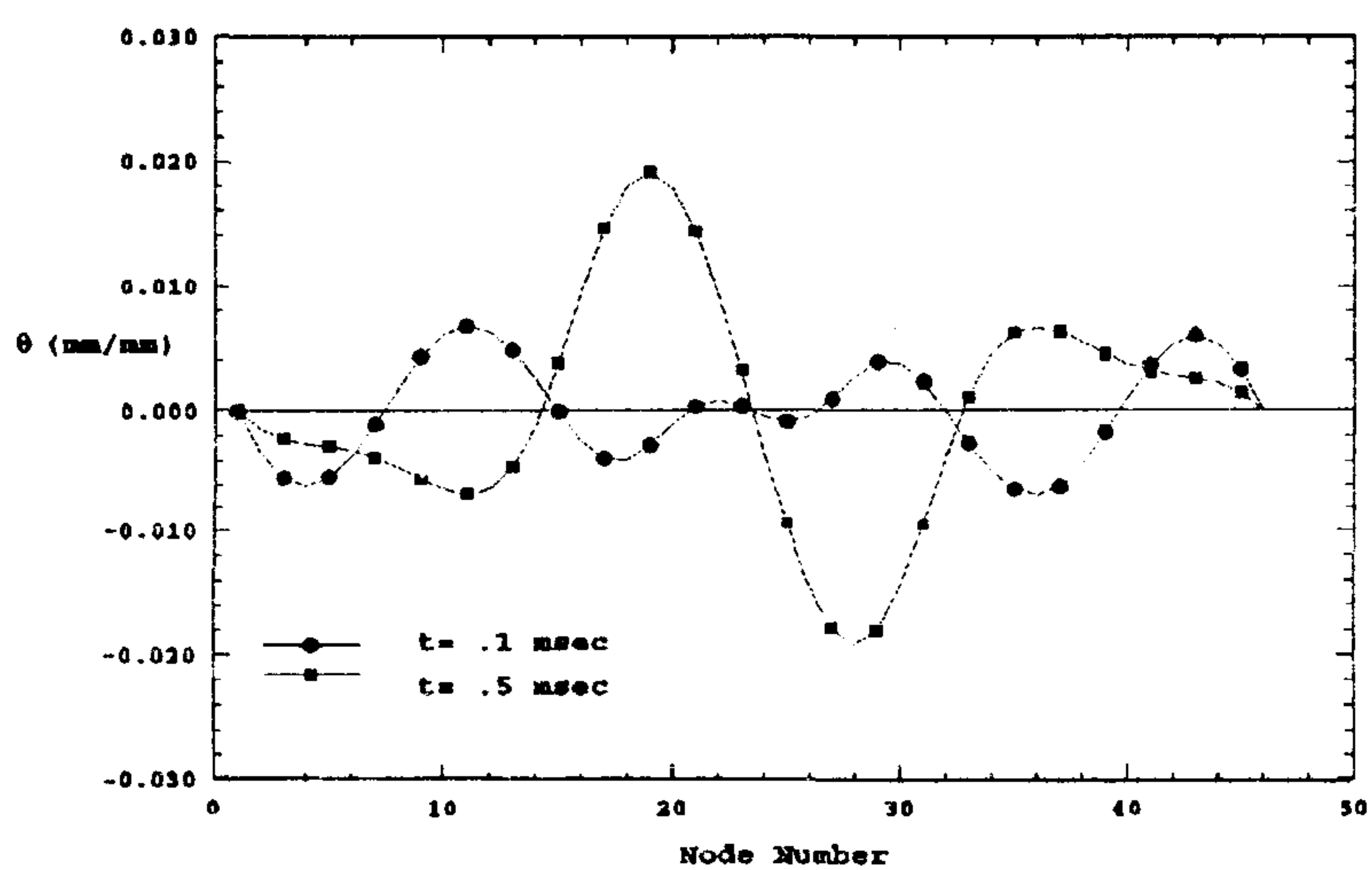
مثال ۱ - ابتدا مسئله برای حالتی که داخل استوانه در معرض



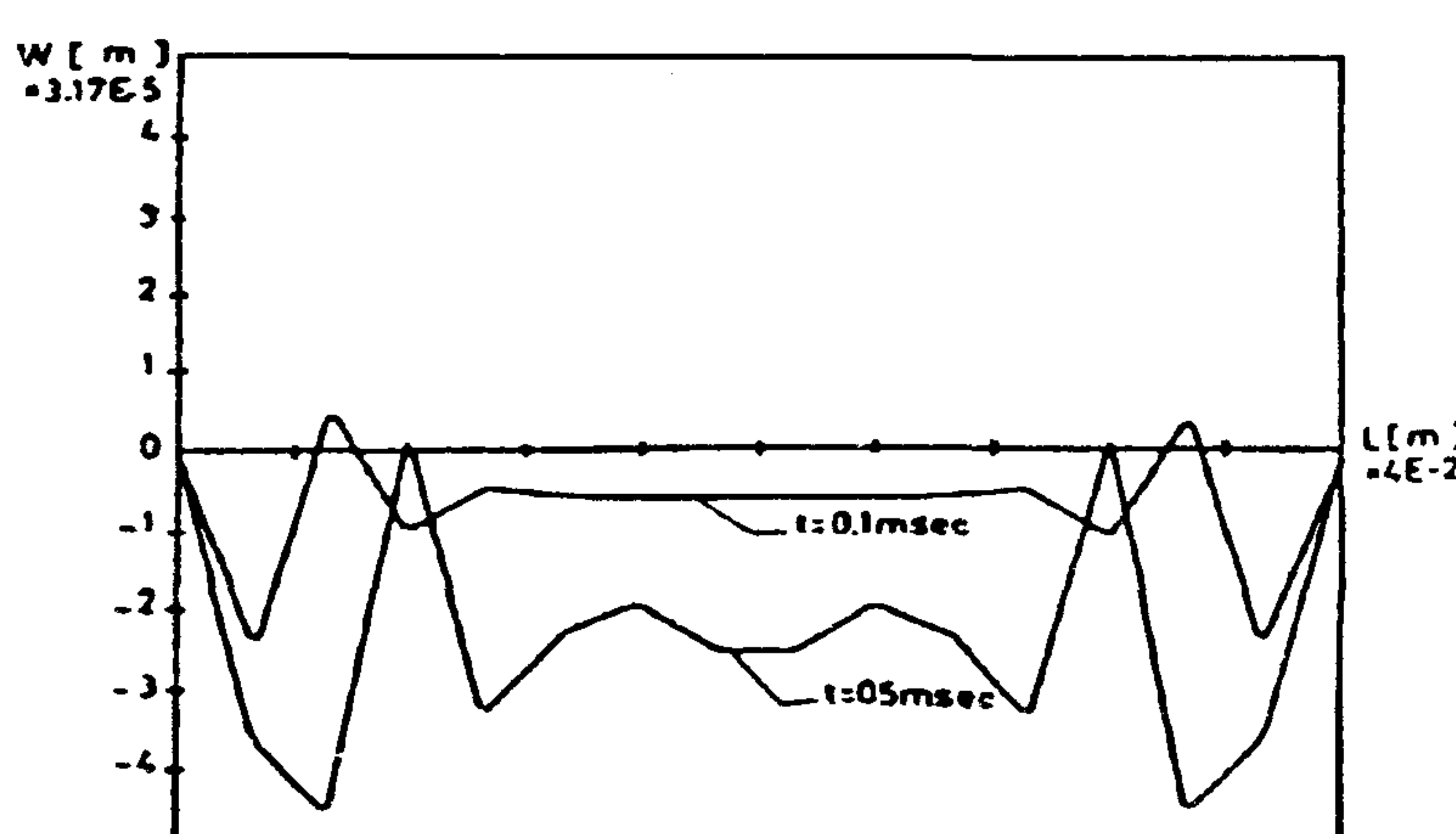
شکل ۱۰: نمودار تغییرات θ در گره‌های ۴ و ۲۲ بر حسب زمان (مثال ۱).



شکل ۸: نمودار تغییرات w در گره‌های ۲ و ۸ بر حسب زمان (مرجع ۱).



شکل ۱۱: نمودار تغییرات θ در امتداد استوانه در زمان‌های ۰/۱ و ۰/۵ میلی ثانیه (مثال ۱).



شکل ۹: نمودار تغییرات w در امتداد استوانه در زمان‌های ۰/۱ و ۰/۵ میلی ثانیه (مرجع ۱).

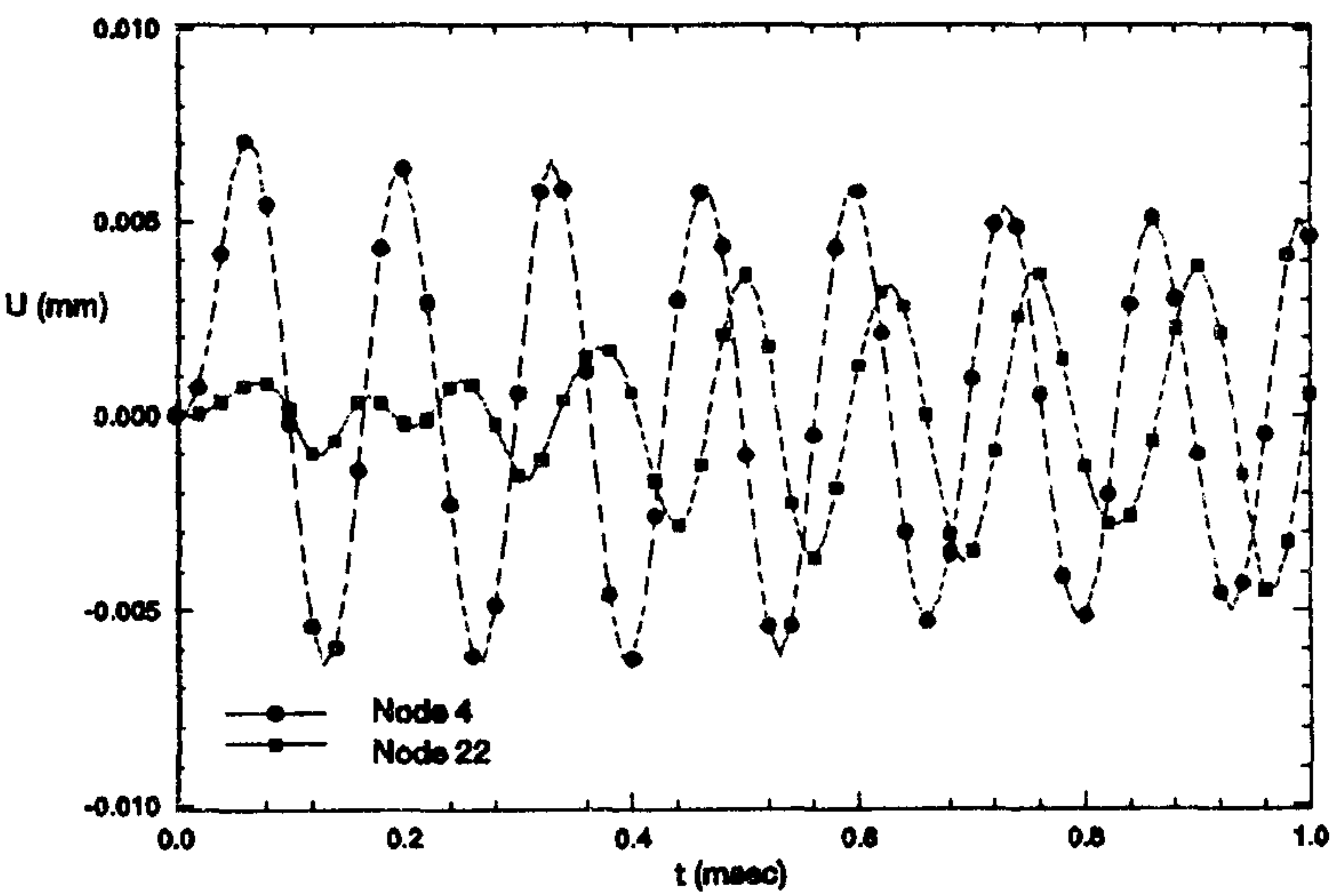
ارتعاش مخزن می‌باشد بدست آید.

ارتعاشات در گره ۲۲ کاملاً منظم ولی در گره ۴ دارای کمی اغتشاش می‌باشد. همچنین با توجه به نزدیک بودن گره ۴ به انتهای استوانه، دامنه تغییرمکان شعاعی آن نسبت به گره ۲۲ کمتر است. شکل (۷) نیز تغییرات w را در امتداد استوانه در زمان‌های ۰/۱ و ۰/۵ میلی ثانیه نشان می‌دهد که بیانگر شکل مود ارتعاشی پوسته مورد نظر می‌باشد. با توجه به متقارن بودن شرایط مسئله نسبت به وسط پوسته، منحنی بدست آمده برای w نیز نسبت به وسط استوانه متقارن است.

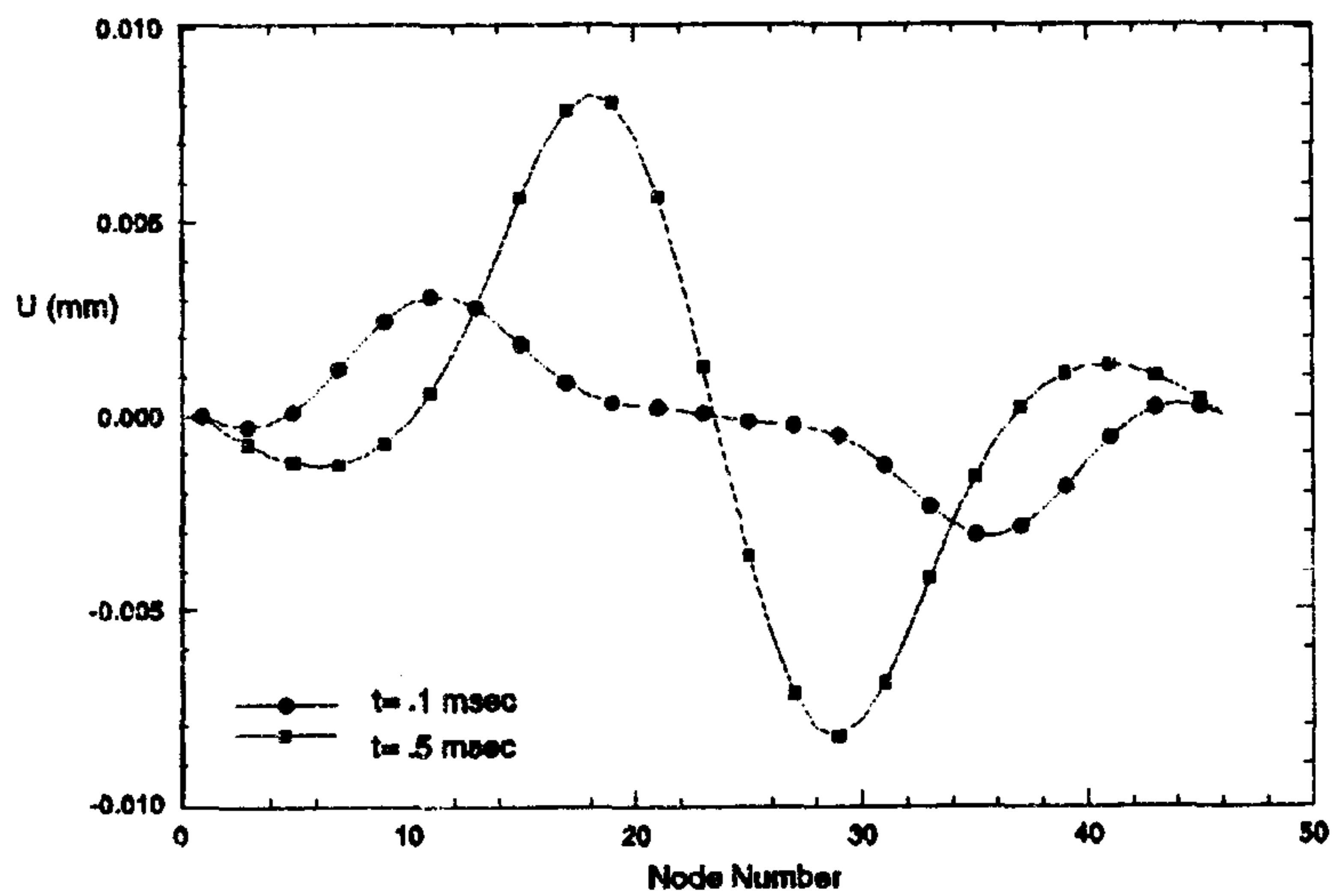
حل این مسئله بدون در نظر گرفتن اثر تغییرمکان محوری و با تقریب خطی درجه حرارت در جهت ضخامت در مرجع [۱] آورده شده است، که می‌توان مقایسه‌ای نیز با نتایج آن انجام داد. شکل (۸) منحنی تغییرمکان شعاعی در گره‌های ۲ و ۸ بر حسب زمان و شکل (۹) منحنی تغییرمکان شعاعی در طول استوانه در زمان‌های ۰/۱ و ۰/۵ میلی ثانیه می‌باشند. تعداد اجزاء استفاده شده در آن

شکل (۶) نمودار تغییرات w در گره ۴ و ۲۲ را بر حسب زمان نشان می‌دهد. گره ۴ گره نزدیک به گره مقید و گره ۲۲ گره نزدیک به وسط استوانه می‌باشد. با استفاده از این شکل می‌توان ارتعاش مخزن را به خوبی مشاهده نمود. مثبت و منفی شدن تغییرمکان و نوسان آن حول صفر به علت اعمال شوک فشار می‌باشد. فاصله زمانی بین دو نقطه ماقزیمم نسبی مجاور روی منحنی گره ۲۲ برابر 14×10^{-5} ثانیه می‌باشد. بنابراین فرکانس نوسان w ، 7143 Hz یا $7/1$ نوسان در ۱ میلی ثانیه بدست می‌آید که در شکل (۶) نیز مشاهده می‌شود.

محاسبه فرکانس‌های طبیعی پوسته استوانه‌ای از رابطه $f = \frac{k}{R} \sqrt{\frac{E}{\rho}}$ نیز مقدار فرکانس 7282 Hz را برای مود سوم می‌دهد که نزدیک به فرکانس بدست آمده می‌باشد. منحنی تغییرات w گره ۲۲، مشابه یک منحنی سینوسی می‌باشد که دامنه نوسانات آن نیز خود به صورت سینوسی تغییر می‌کند. این حالت می‌تواند از جمع دو منحنی سینوسی که دو مود غالب در



شکل ۱۲: نمودار تغییرات U در گره‌های ۲ و ۸ بر حسب زمان (مثال ۱).



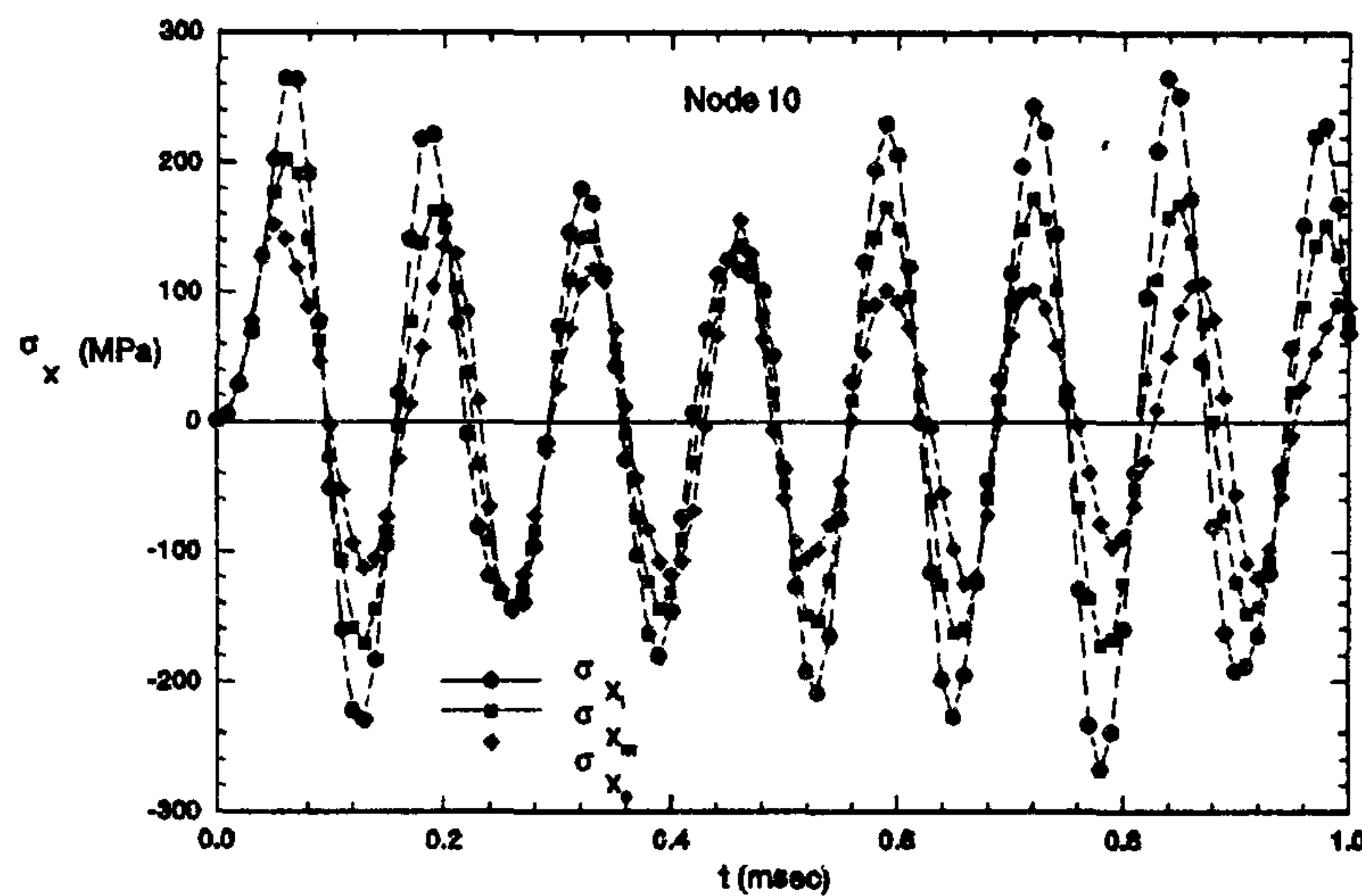
شکل ۱۳: نمودار تغییرات U در امتداد استوانه در زمان‌های $0.1/0.5$ میلی‌ثانیه (مثال ۱).

شیب در طول پوسته در دو انتهای رخ داده است که صحیح به نظرنمی‌رسد.

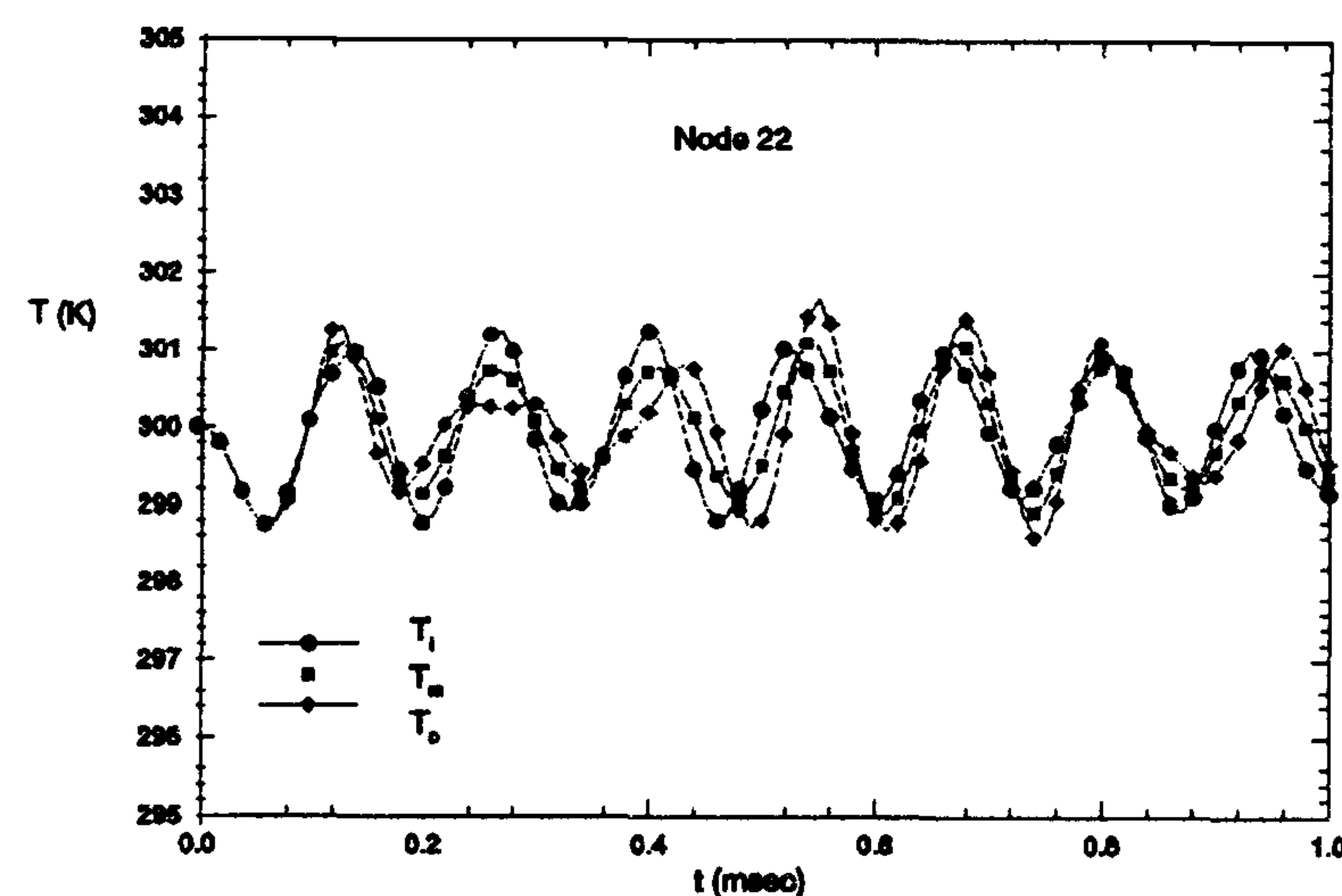
شکل (۱۰) نمودار تغییرات دوران پوسته یا $\frac{dw}{dx} = \theta$ می‌باشد که برای گره‌های ۴ و ۲۲ رسم گردیده است. شکل (۱۱) نیز نمودار تغییرات θ در زمان‌های $0.1/0.5$ میلی‌ثانیه می‌باشد که نسبت به وسط استوانه قرینه است. همچنین ملاحظه می‌گردد که شیب در وسط و دو انتهای استوانه صفر می‌باشد. شکل (۱۲) تغییرات تغییرمکان محوری گره‌های ۴ و ۲۲ را بر حسب زمان نشان می‌دهد. تغییرمکان محوری نسبت به تغییرمکان شعاعی بسیار کمتر و از لحظه مرتبه حدود میکرومتر می‌باشد، در صورتیکه تغییرمکان شعاعی از مرتبه دهم میلی‌متر می‌باشد. با توجه به تقارن مسئله تغییرمکان محوری وسط استوانه صفر است که این امر موجب کمتر بودن تغییرمکان محوری گره ۲۲ نسبت به گره ۴ می‌باشد. همچنین تغییرمکان محوری نسبت به وسط استوانه پادمتقارن است (شکل ۱۳). تغییرات درجه حرارت سطوح داخلی، میانی و

مرجع، ۱۵ عدد می‌باشد که در نتیجه گره‌های ۲ و ۸ متناظر گره‌های ۴ و ۲۲ در مسائل حل شده در این مقاله خواهد بود. با مراجعه به شکل (۸) مشاهده می‌گردد که منحنی تغییرات w در گره ۲ مشابه منحنی تغییرات w در گره ۸ نیز به صورت نوسانی منظم بوده که در پریود اول تقریباً منطبق بر گره ۲ و در پریودهای بعدی به سرعت کاهش یافته است، به طوریکه بعد از ۱ میلی‌ثانیه دامنه نوسانات آن حدوداً $\frac{1}{36}$ گردیده است. ماکزیمم مقداری که برای w بدست آورده شده است، بعید به نظر می‌رسد که در گره ۲ و در زمان ۱ میلی‌متر اتفاق افتاده است. با توجه به اینکه گره ۲ مجاور گره ۱ بوده و آنرا ۱ نیز گرهی است که هم تغییرمکان w آن و هم دوران آن مفید شده است، بعید به نظر می‌رسد که تغییرمکان آن نسبت به گره ۸ که در وسط استوانه قرار داشته و از دو انتهای استوانه بیشترین فاصله را دارد، بیشتر باشد. گره ۲ با توجه به اینکه دوران گره ۱ منید شده است می‌بایست دارای تغییرمکان شعاعی کمی باشد که در منحنی‌های شکل (۶) (گره ۴) این مطلب مشاهده می‌گردد. علاوه بر آن در معادلاتی که برای حل مسئله استخراج شد و شامل معادله تعادل و معادله انرژی بود، عبارت استهلاک سازه‌ای در معادله تعادل ظاهر نگردید. بنابراین با توجه به عدم وجود استهلاک سازه‌ای در مسئله، کاهش دامنه تغییرات w در گره ۸ بر حسب زمان با سرعتی که در شکل (۸) از مرجع [۱] دیده می‌شود سؤال برانگیز است.

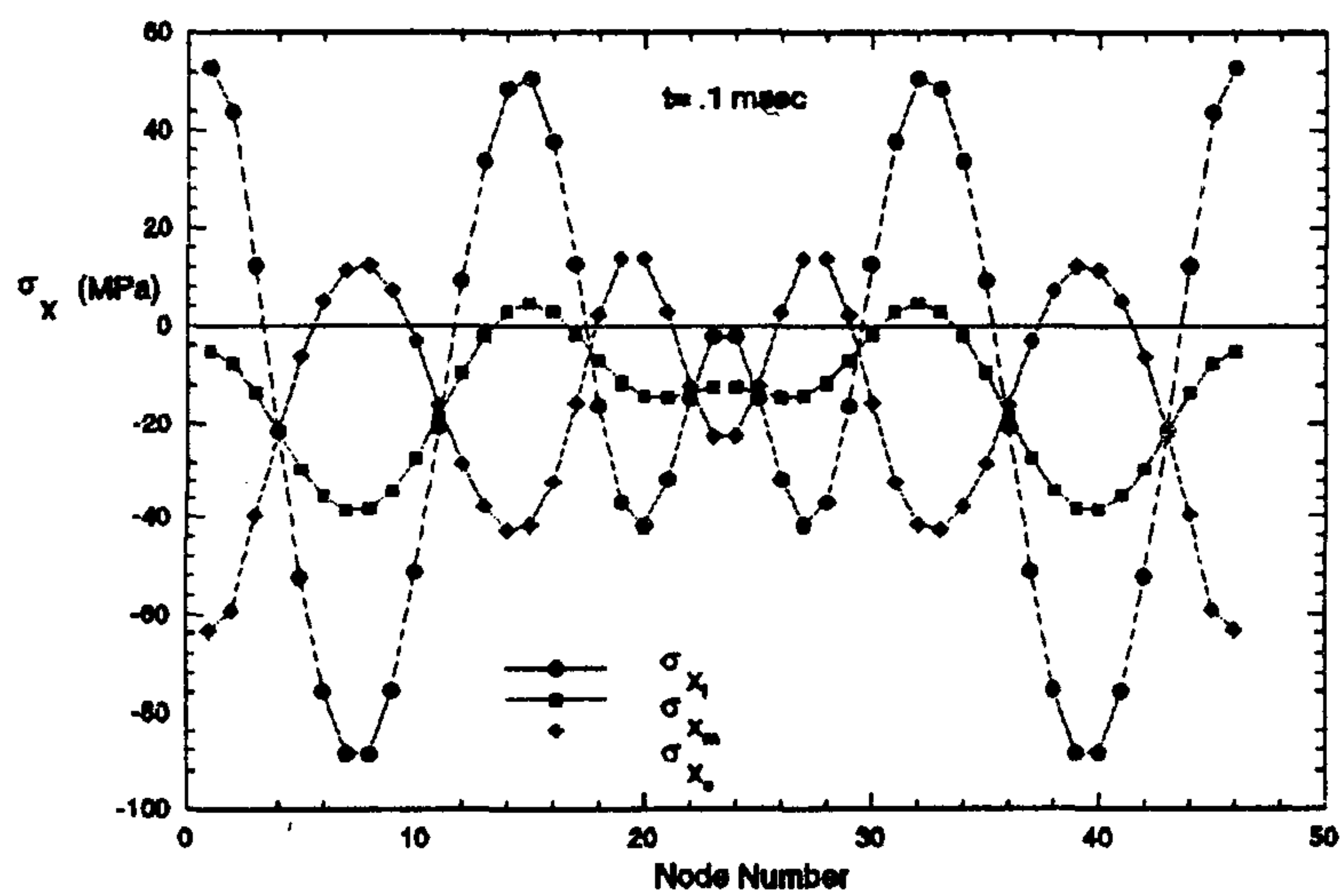
منحنی‌های شکل (۹) نیز با منحنی‌های شکل ۷ که برای w در طول استوانه در زمان‌های $0.1/0.5$ میلی‌ثانیه ارائه شده است: تفاوت داشته و تعداد نوساناتی که در پوسته نشان داده شده بیشتر می‌باشد. حداکثر مقداری که برای w در زمان 0.5 میلی‌ثانیه در شکل (۹) ارائه شده است 0.15 میلی‌متر می‌باشد که آن نیز در گره ۳ اتفاق افتاده است. شکل (۹) شیب زیادی را در دو انتهای استوانه نشان می‌دهد و تغییرمکانی که برای گره ۲ ارائه کرده است در زمان 0.1 میلی‌ثانیه بیشترین و در زمان 0.5 میلی‌ثانیه بعد از گره ۳ بیشترین تغییرمکان در طول استوانه می‌باشد، در صورتیکه گره ۲ مجاور گره مقید ۱ قرار دارد که درجه آزادی w و θ آن گرفته شده است و قاعده‌ای می‌بایست شیب در دو انتهای استوانه صفر باشد. البته بدلیل اینکه از روش اجزاء محدود استفاده شده است و تعداد اجزاء به کار رفته کم می‌باشد، مقدار شیب برابر صفر نخواهد بود، لیکن چندان هم نباید اختلاف داشته باشد. در شکل (۷) به خصوص در لحظه 0.5 میلی‌ثانیه مشخص است که شیب منحنی تمایل به صفر بودن دارد، ولیکن در منحنی شکل (۹) بیشترین



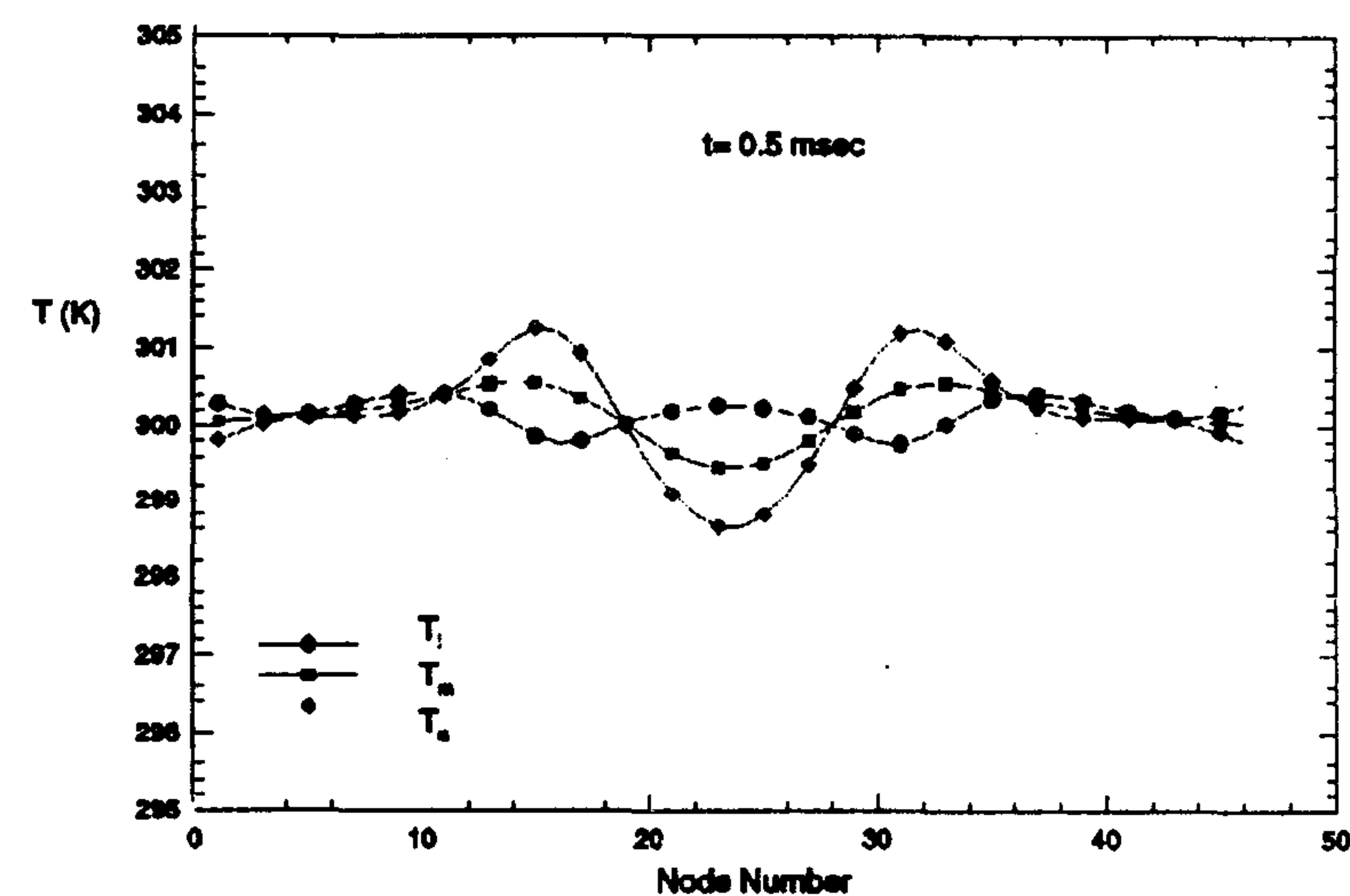
شکل ۱۶: تغییرات σ_x در سطوح داخل، وسط و خارجی استوانه در گره ۱۰ (مثال ۱).



شکل ۱۴: تغییرات درجه حرارت سطوح داخلی، میانی و خارجی استوانه در گره ۲۲ (مثال ۱).



شکل ۱۷: تغییرات σ_x در سطوح داخل، وسط و خارجی استوانه در زمان ۰/۱ میلی ثانیه (مثال ۱).



شکل ۱۵: تغییرات درجه حرارت سطوح داخلی، میانی و خارجی استوانه در زمان ۰/۵ میلی ثانیه (مثال ۱).

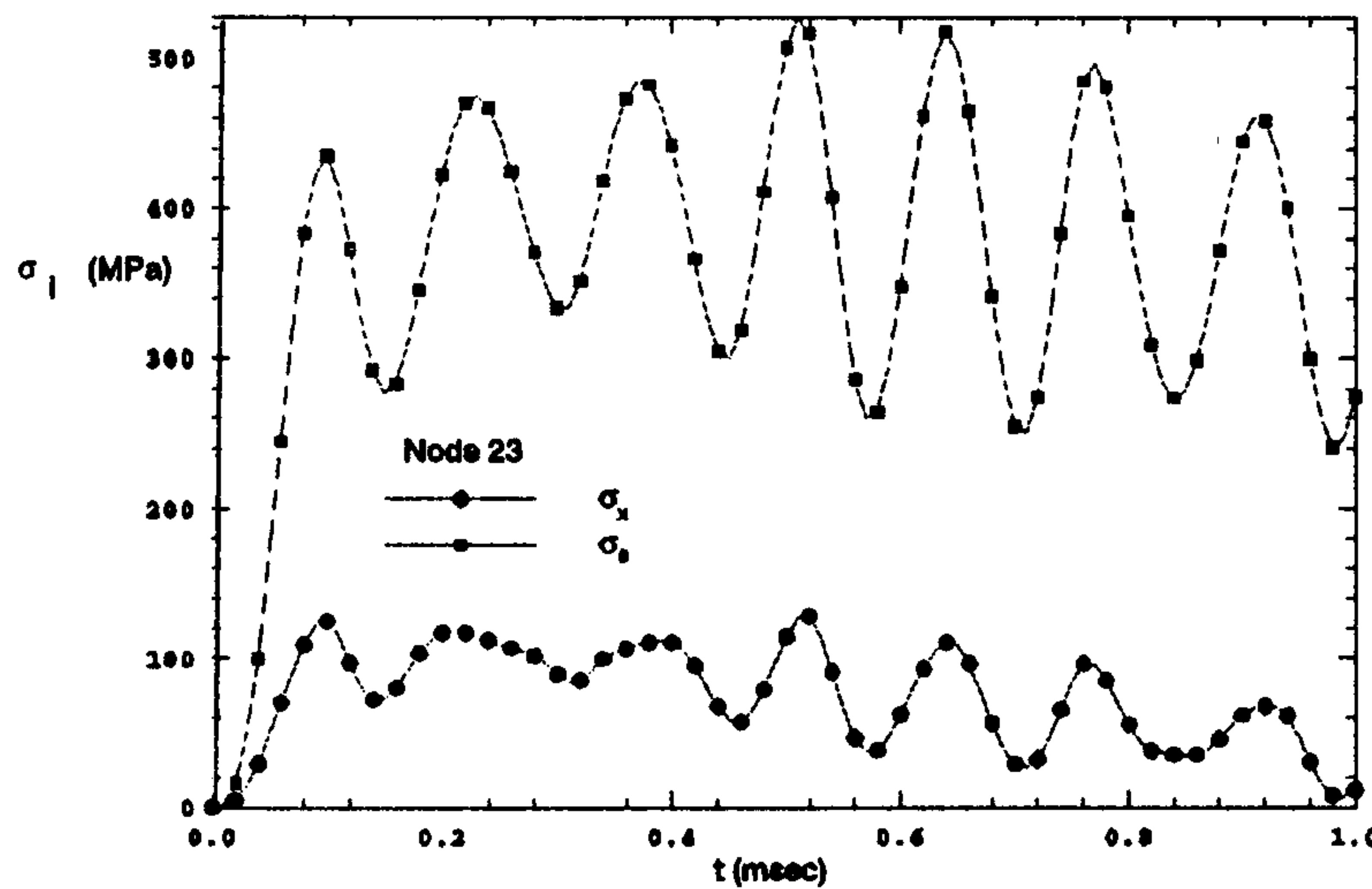
توجه به چندین برابر بودن N_θ نسبت به N_x و M_θ نسبت به M_x ، ملاحظه می‌گردد که تفاوت مقادیر σ_θ در سطوح مختلف پوسته کمتر از تفاوت مقادیر σ_x در سطوح مختلف می‌باشد. حداکثر مقادیر تنش محیطی σ_θ در گره ۱۰ برابر ۱۱۸ Mpa و در زمان ۰/۱۶ میلی ثانیه می‌باشد. در صورتیکه تنش محیطی از رابطه ساده $\frac{P}{t}$ محاسبه گردد، مقدار آن ۴۳۶ Mpa بدست می‌آید. این مقایسه نشان دهنده اثر بارگذاری دینامیکی در توزیع تنش قطعه و صحیح نبودن مقادیر اثر بارگذاری دینامیکی در بارگذاری‌های دینامیکی می‌باشد. در این مثال نسبت حداکثر تنش دینامیکی به تنش استاتیکی ۱/۶۵ می‌باشد.

علاوه بر نمودارهای تغییرات w , u , θ , T , σ_x , σ_θ و منحنی تغییرات \dot{x} , M_x , M_θ , N_x , N_θ و Q_x نیز بدست آمده که در اینجا از آوردن آنها خودداری شده است [۸].

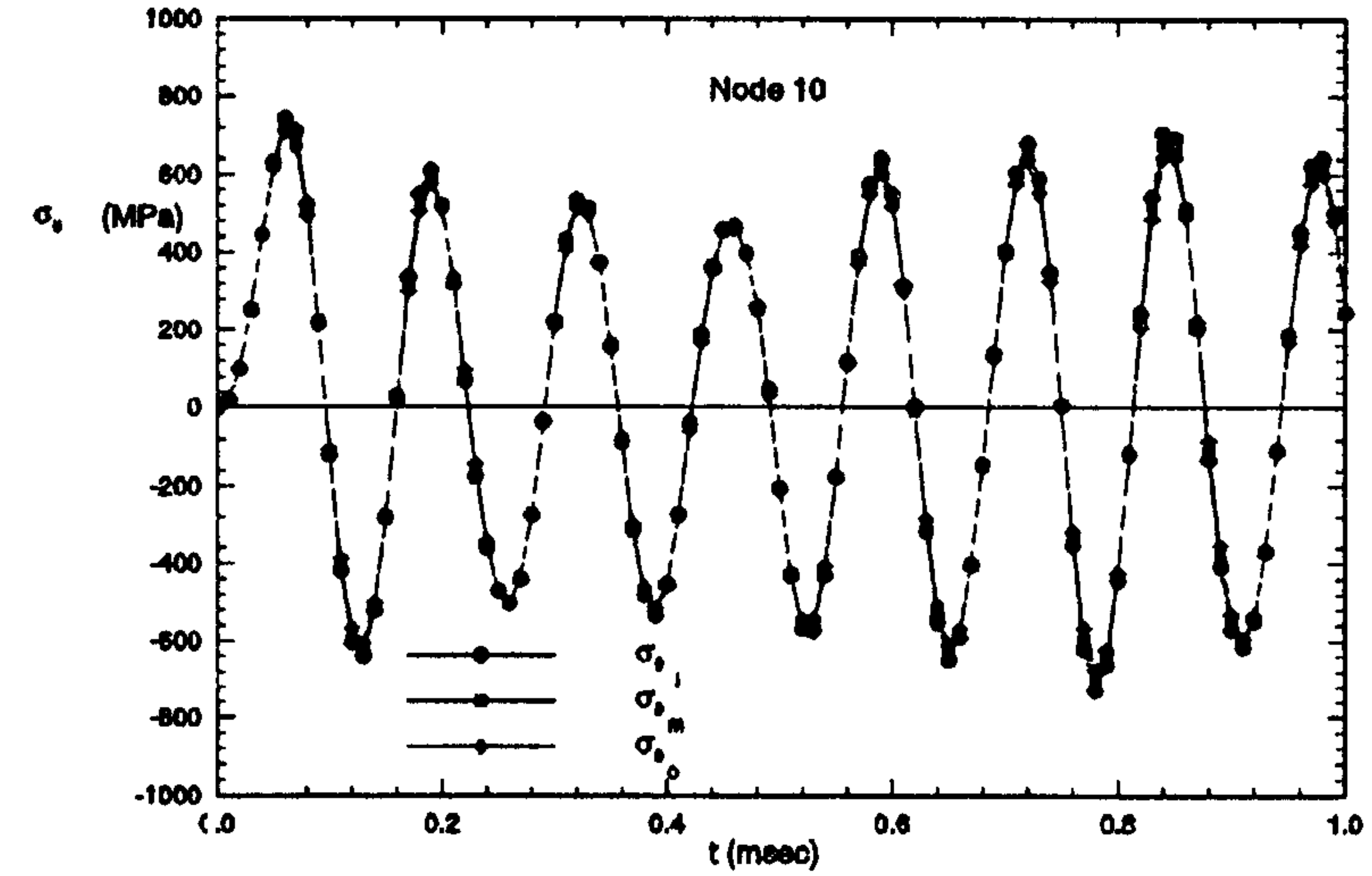
مثال ۲ - مسئله ترمومالاستیسیته وابسته برای این پوسته استوانه‌ای برای حالتی که شوک فشاری به معادله

خارجی استوانه در گره ۲۲ نیز در شکل (۱۴) ترسیم شده است. این منحنی دقیقاً نشان دهنده اثر عبارت وابسته‌ساز k_{kk} در معادله انرژی می‌باشد. زیرا در این مسئله هیچگونه تولید حرارت و انتقال حرارتی وجود نداشته و بنابراین انحراف درجه حرارت پوسته از درجه حرارت اولیه فقط متأثر از اثرات میدان تغییرمکان بر درجه حرارت یا به عبارت بهتر نرخ کرنش بر درجه حرارت می‌باشد. شکل (۱۵) نیز بیانگر توزیع درجه حرارت سطوح داخلی، میانی و خارجی استوانه در زمان ۰/۵ میلی ثانیه می‌باشد.

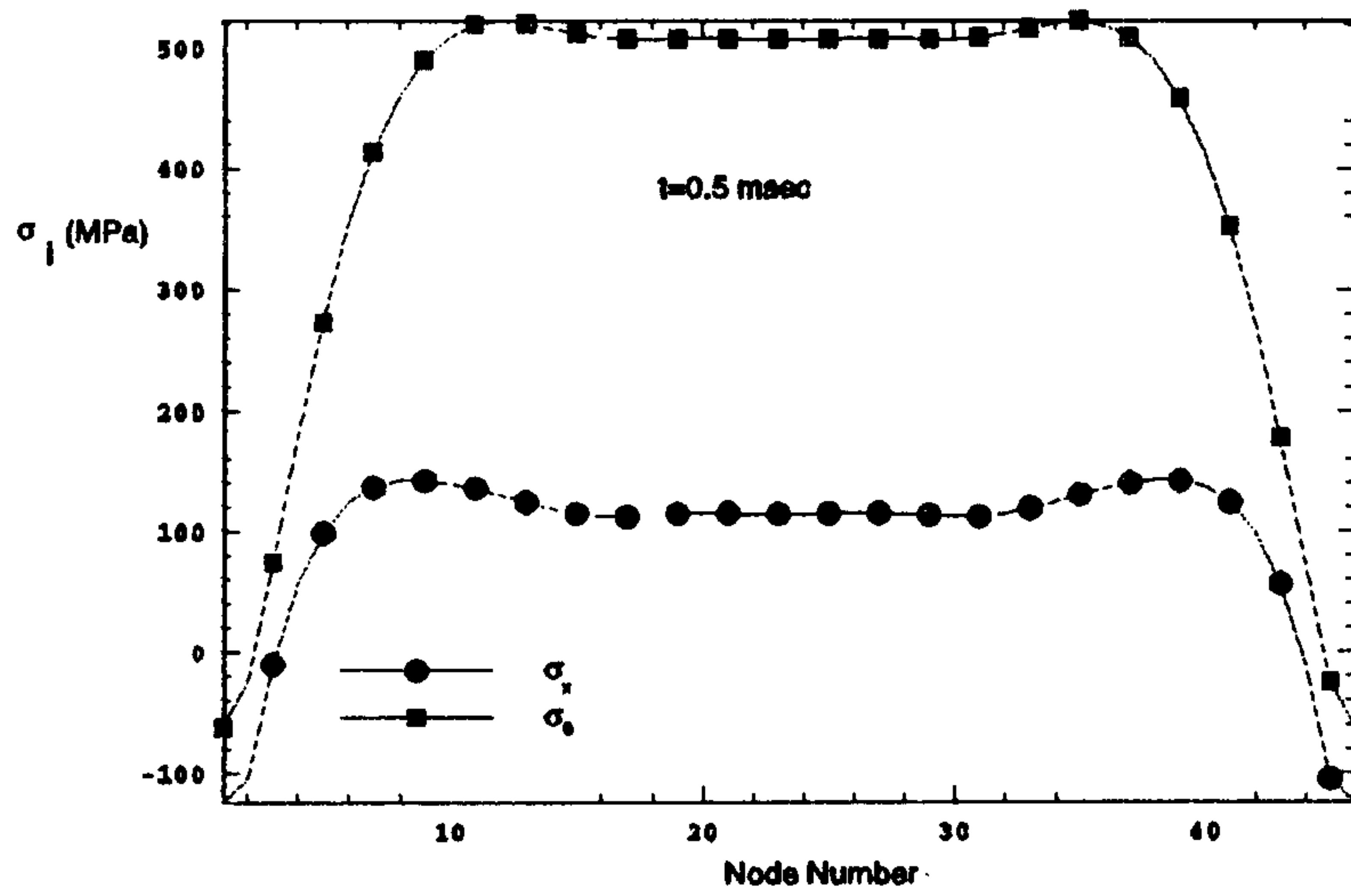
شکل (۱۶) نمودار تغییرات σ_x در سطوح داخل، وسط و خارج گره ۱۰ را نشان می‌دهد. مطابق این نمودار، نوسانات σ_x منظم و در سطح داخل، وسط و خارج به صورت یکنواخت تغییر کرده است به طوریکه در هر نقطه می‌توان تنش سطح میانی را میانگین تنش در سطوح داخل و خارج در نظر گرفت. شکل (۱۷) مقدار σ_x را در سرتاسر استوانه در زمان ۰/۱ میلی ثانیه ارائه می‌دهد. اشکال (۱۸) و (۱۹) نیز نمودارهای مربوط به σ_θ می‌باشند. با



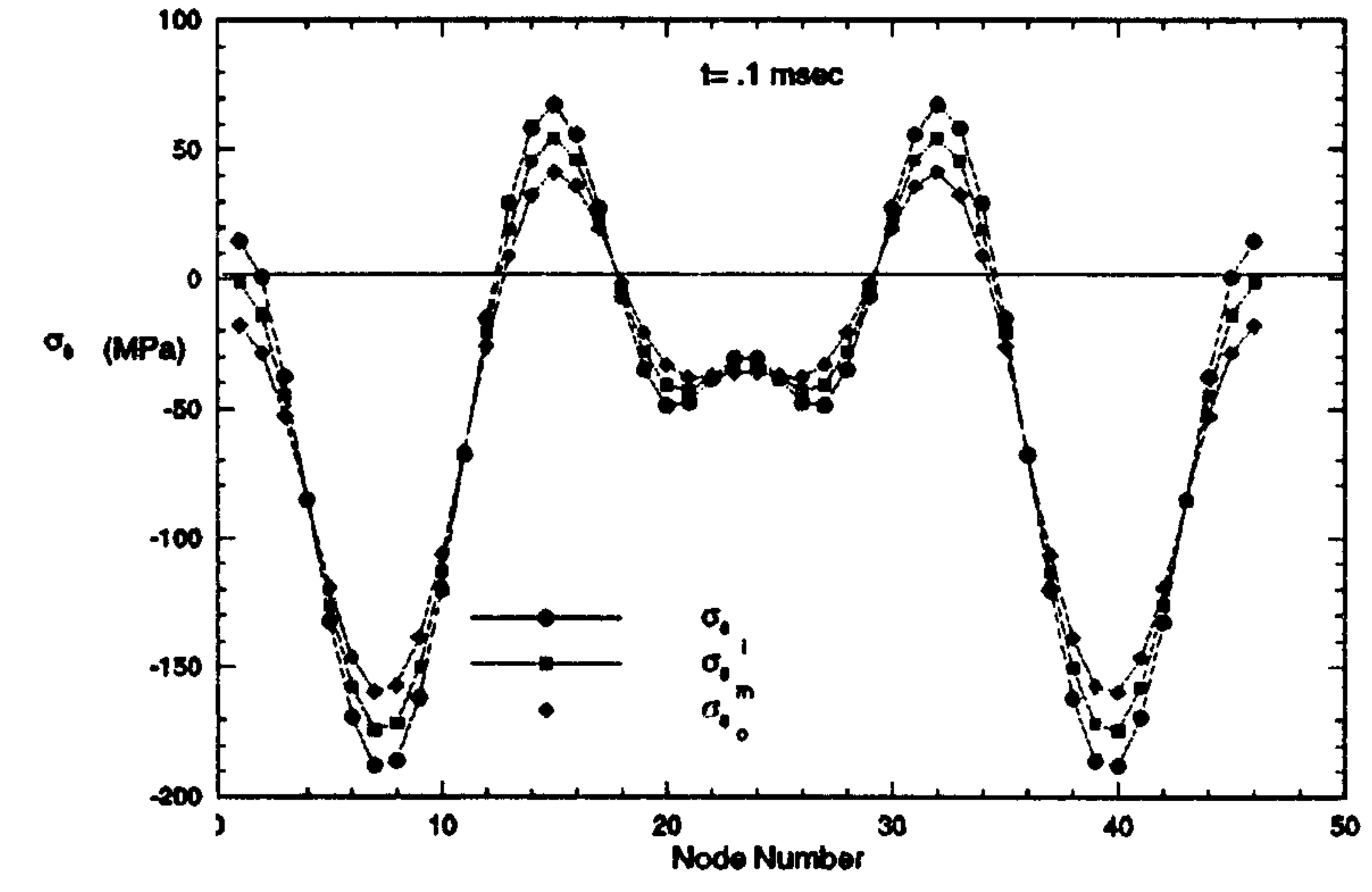
شکل ۲۰: منحنی تغییرات σ_x و σ_y در سطح داخلی استوانه در گره ۲۳ (مثال ۲).



شکل ۱۸: تغییرات σ_θ در سطح داخل، وسط و خارجی استوانه در گره ۱۰ (مثال ۱).



شکل ۲۱: منحنی توزیع تنش‌های σ_x و σ_y در سطح داخلی استوانه در لحظه ۵/۰ میلی ثانیه (مثال ۲).

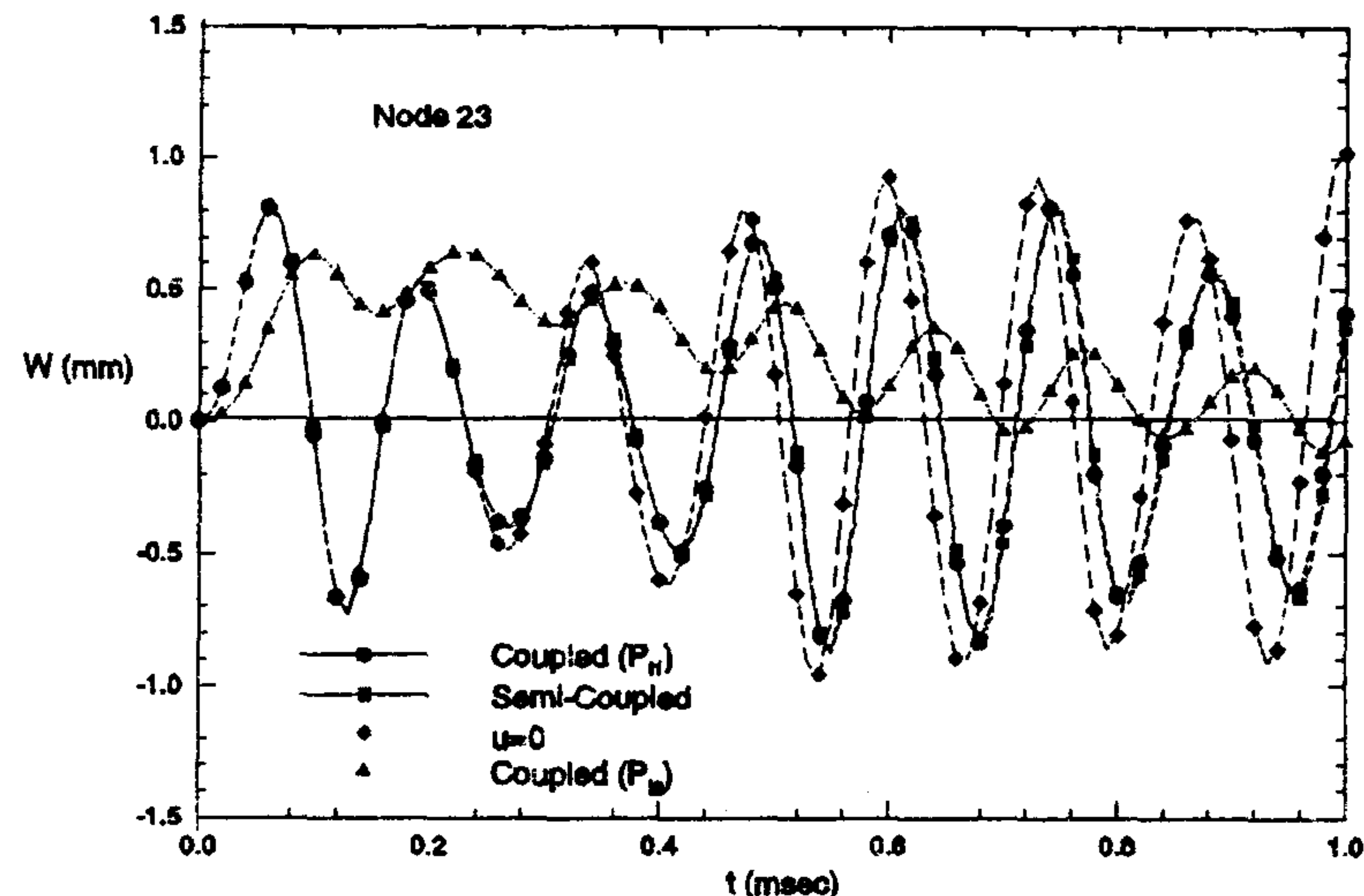


شکل ۱۹: تغییرات σ_θ در سطح داخل، وسط و خارجی استوانه در زمان ۱/۰ میلی ثانیه (مثال ۱).

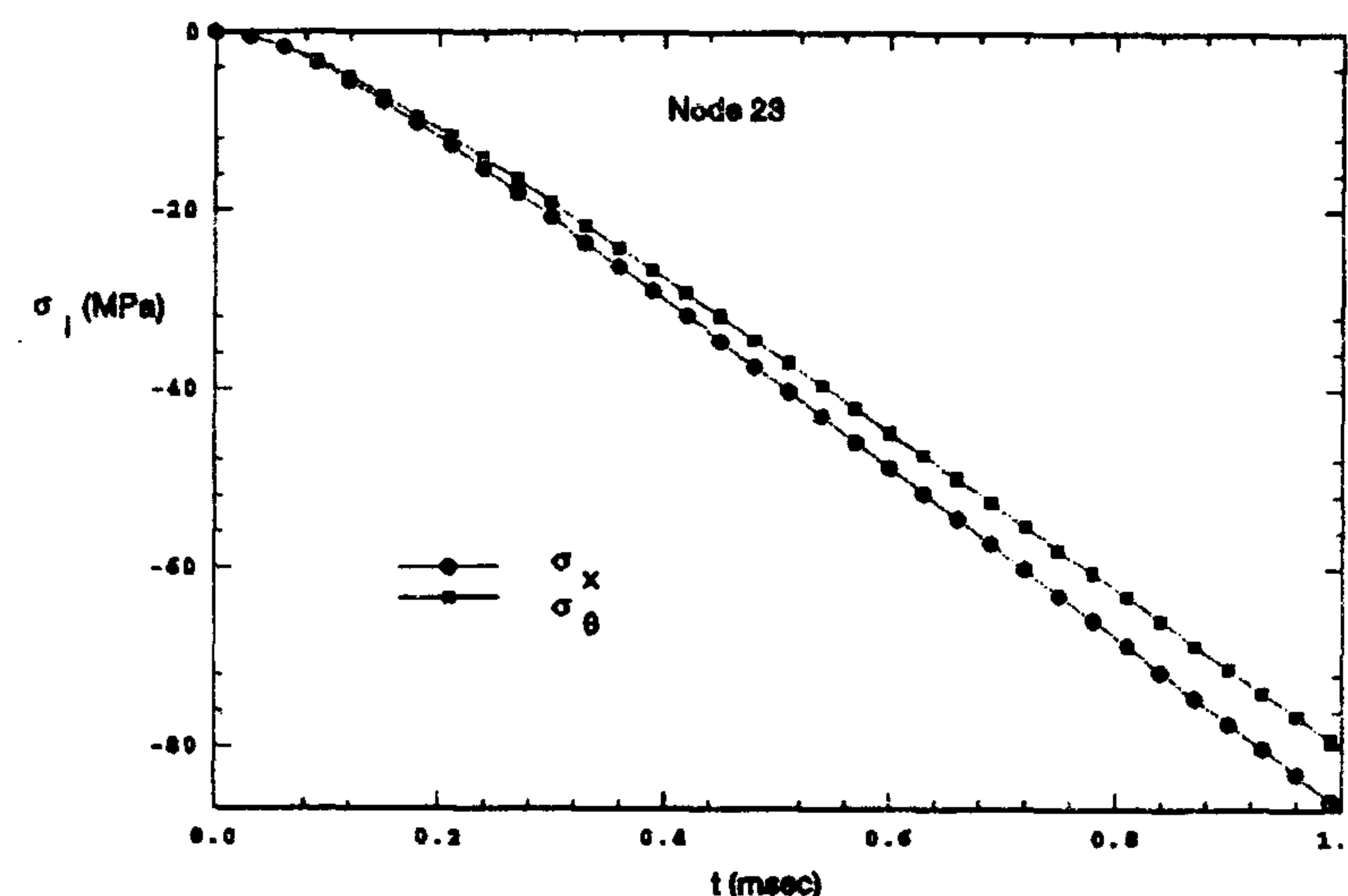
داخلی برمی‌گردد بدین معنا که در حالت قبل مدت زمان رسیدن فشار داخلی به حد اکثر مقدار، ۰/۰۲ میلی ثانیه و در این حالت $0/3$ میلی ثانیه می‌باشد. با توجه به اینکه در حالت قبل این زمان نسبت به این حالت از مرتبه کمتری است، طبیعت دینامیکی بودن بارگذاری در آن حالت بیشتر بوده و در نتیجه میزان انحراف از مقدار استاتیکی بیشتر می‌باشد. شکل (۲۱) منحنی‌های σ_x و σ_y در طول استوانه در لحظه ۵/۰ میلی ثانیه می‌باشد. مطابق این شکل، قسمت عمده‌ای از ناحیه وسط استوانه دارای تنش یکسانی است که با نزدیک شدن به دو انتهای مقدار آن تغییر کرده و کاهش می‌یابد.

مثال ۳ - این مسئله بار دیگر برای حالتی که به جای شوک فشار، شوک حرارتی به معادله $T_i(\bar{t}) = 2500 + 300(1 - Exp(-\bar{t}))$ کلوین در داخل استوانه اعمال شود، حل گردیده است. در این حالت ضریب جابجایی حرارتی در داخل استوانه K/m^2W ۱۰۰۰۰ می‌باشد.

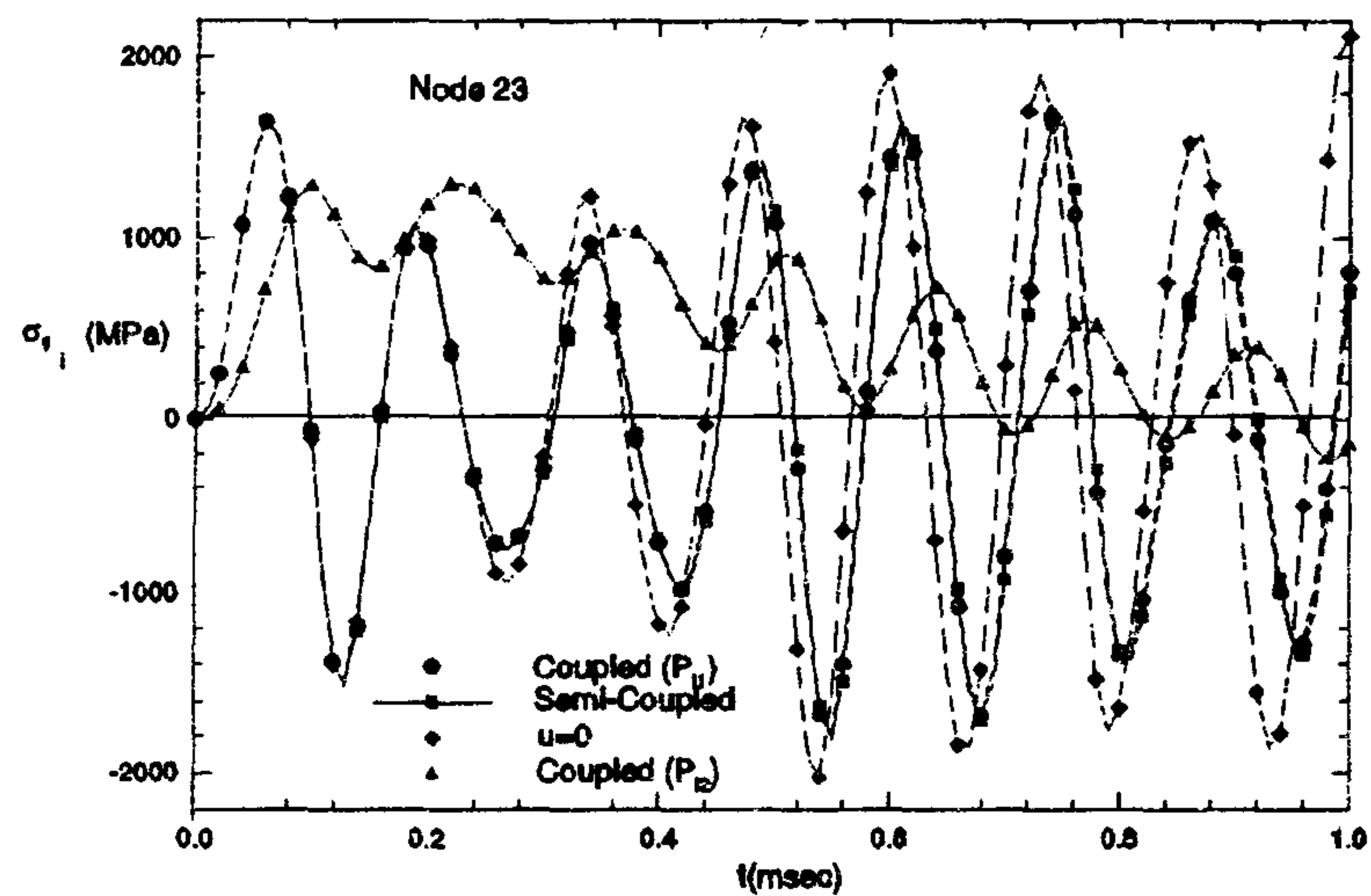
ایجاد می‌گردد نیز حل گردیده است. شکل (۳) منحنی شوک فشار مذکور را نشان می‌دهد. مطابق شکل، فشار در مدت زمانی حدود ۰/۳ میلی ثانیه به فشار حد اکثر خود در حدود ۸۰ بار رسیده و در این فشار ثابت باقی می‌ماند. شکل (۲۰) منحنی‌های تغییرات σ_x و σ_y در گره ۲۳ (وسط استوانه) بر حسب زمان می‌باشد. همانطور که ملاحظه می‌گردد در این حالت برخلاف حالت قبل به علت عدم حذف فشار داخلی، نوسانات حول مقدار صفر نمی‌باشد. در حقیقت نوسانات تنش حول مقدار استاتیکی می‌باشد که اگر از رابطه $P_i(\bar{t}) = 80(1 - Exp(-\bar{t}))$ محاسبه گردد، مقدار σ_θ در حالت استاتیکی ۴۳۴ MPa می‌باشد که با منحنی شکل (۲۰) نیز مطابقت دارد. مطلب دیگری آنکه در این منحنی‌ها دیده می‌شود کمتر بودن حد اکثر تنش در این حالت از حالت قبل است (البته در این حالت گره ۲۳ و در حالت قبل گره ۲۲ مورد بررسی قرار گرفته که بدلیل نزدیک بودن دو گر، انتظار اختلاف زیادی بین آنها نمی‌رود). علت این امر به نحوه اعمال فشار



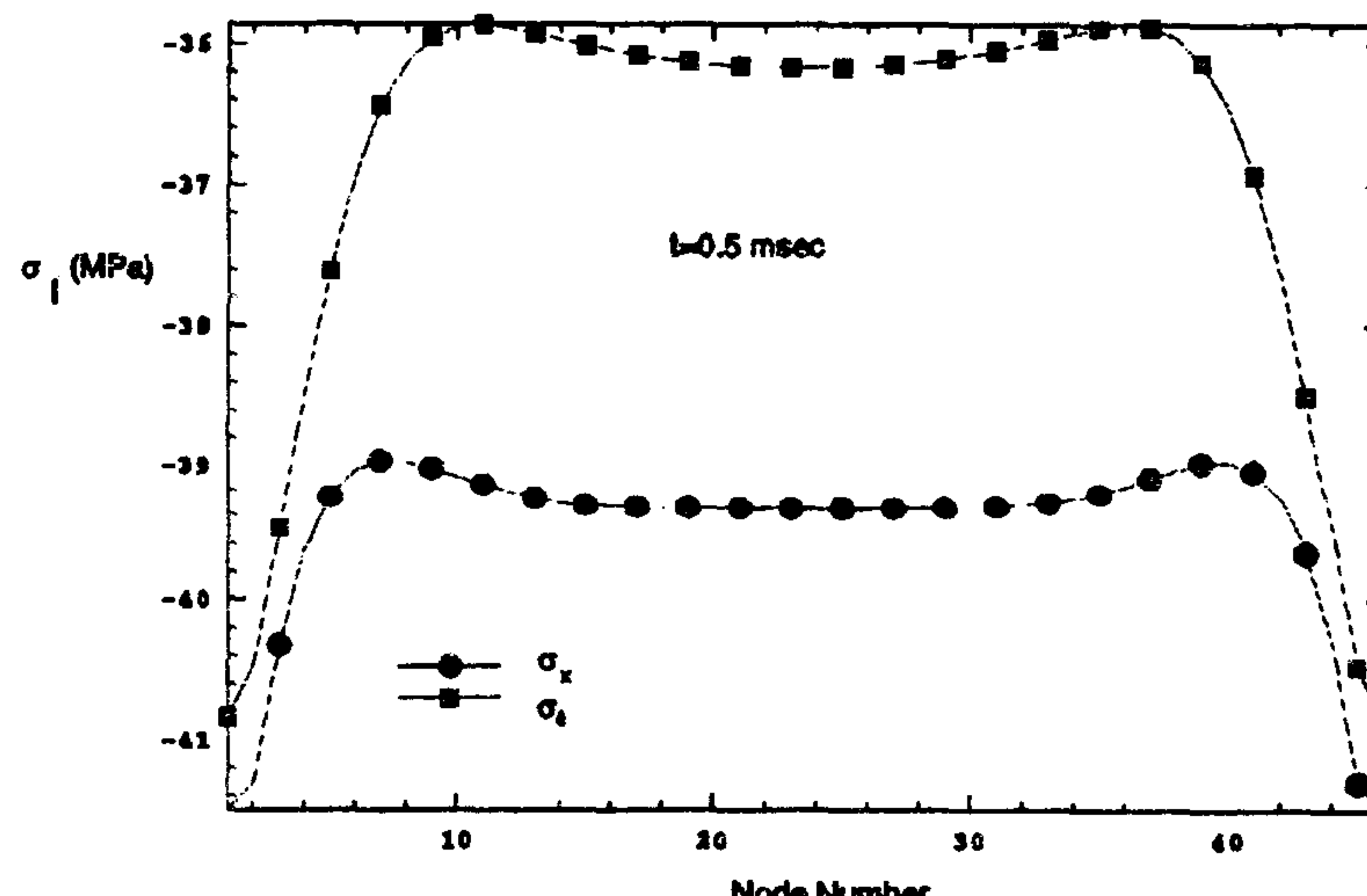
شکل ۲۴: منحنی های تغییر مکان شعاعی W در گره ۲۳ بر حسب زمان (مثال ۴).



شکل ۲۲: منحنی تغییرات σ_x و σ_y در سطح داخلی استوانه در گره ۲۳ (مثال ۳).



شکل ۲۵: منحنی های تنش محیطی σ_y در سطح داخلی استوانه در گره ۲۳ (مثال ۴).



شکل ۲۳: منحنی توزیع تنش های σ_x و σ_y در سطح داخلی استوانه در لحظه ۰/۵ میلی ثانیه (مثال ۳).

شکل (۴) منحنی تغییرات درجه حرارت محیط داخل استوانه را بر حسب زمان نشان می دهد. مطابق این شکل درجه حرارت مذکور در مدت زمانی حدود $0/3$ میلی ثانیه به حداقل مقدار خود یعنی $K = 2800$ رسیده و در این حالت دما ثابت می ماند. شکل (۲۲) توزیع تنش های σ_x و σ_y را در سطح داخلی استوانه در گره ۲۳ نشان می دهد. با توجه به گرم شدن سطح داخل ملاحظه می گردد که تنش های ایجاد شده فشاری بوده و با گذشت زمان و با افزایش حرارت پوسته، آنها نیز از نظر مقدار رو به افزایش می باشند. شکل (۲۳) نیز می بین توزیع تنش های σ_x و σ_y در امتداد استوانه در لحظه $0/5$ میلی ثانیه می باشد. همانطور که ملاحظه می گردد دو انتهای استوانه بدلیل مقید بودن و عدم امکان انبساط دارای بیشترین مقادیر تنش σ_x و σ_y می باشند.

مثال ۴ - بررسی دیگری که بر روی پوسته استوانه ای مورد نظر انجام گرفته است، شامل چهار حل مختلف می باشد. در حالت اول پوسته استوانه ای مورد نظر تحت شوک فشار داخلی به معادله

$P_i(t) = 220 \cdot t \cdot \text{Exp}(-4t)$ بار قرار گرفته است. در این حالت مسئله به صورت ترمومالاستیسیتی وابسته مورد بررسی قرار گرفته است. در حالت دوم همین مسئله به صورت ترمومالاستیسیتی نیمه وابسته با حذف اثر ϵ_{kk} در معادلات انرژی حل شده است. در حالت سوم اثر تغییر مکان محوری با مقید کردن تمامی درجات آزادی u در امتداد استوانه حذف شده است. در حالت چهارم معادله شوک فشار داخلی اعمالی به صورت اول است، با این تفاوت که ثابت زمانی آن 100 برابر می باشد. در حالت اول زمان رسیدن به حداقل فشار، $0/02$ میلی ثانیه می باشد. شکل (۵) منحنی شوک های فشار مذکور را نشان می دهد. در شکل های (۲۴) و (۲۵) نیز منحنی های تغییر مکان شعاعی W و تنش محیطی σ_y در گره ۲۳ برای چهار حالت مورد نظر رسم شده است. همانطور که از این منحنی ها پیداست در حالت اول و دوم دو منحنی تقریباً بر روی یکدیگر قرار گرفته و اختلاف ناچیزی دارند.

تشکر و قدردانی

نویسنده‌گان مقاله از همکاری معاونت پژوهشی دانشگاه تهران و معاونت تحقیقات صنایع شهید باقری بدلیل ارائه پشتیبانی‌های لازم تشکر می‌نمایند.

فهرست علائم

- C: ظرفیت گرمایی ویژه
- E: مدول الاستیسیته
- h: ضخامت استوانه
- h_i : ضریب جابجایی داخل استوانه
- h_o : ضریب جابجایی خارج استوانه
- I_{yy} : ممان اینرسی جزء حول محور y
- K: ضریب هدایت حرارتی
- l: طول جزء
- L: طول استوانه
- M_x : گشتاور خمشی محوری
- N_y, N_x : نیروی قائم محوری و محیطی
- P_z, P_x : شوک فشار و برش وارد در جهت محور و شعاع
- Q: انرژی تولیدی
- Q_x : نیروی برش محوری
- R: شعاع استوانه
- T_0, T_1, T_∞ : ضرایب تابع درجه حرارت در جهت ضخامت
- T_o : دمای اولیه و محیط خارج
- T_i : شوک حرارت وارد در داخل استوانه
- w: تغییر مکان محوری و شعاعی

فهرست علائم یونانی

- α : ضریب انبساط حرارتی
- ϵ : کرنش
- λ, μ : ثابت‌های لامه
- ν : ضریب پواسون
- ρ : جرم حجمی استوانه
- σ : تنش
- Ψ : دوران جزء حول محور y

علت این امر کم بودن اثر توزیع درجه حرارت ایجاد شد، در حالت دوم در توزیع تغییر مکان پوسته می‌باشد، به طوریکه می‌توان گفت در این مسئله، در مقایسه با اثر شوک فشار اعمالی، اثر توزیع درجه حرارت قبل اغمض بوده و می‌توان به حل نیمه وابسته (که در این مسئله معادل غیر وابسته می‌باشد) اکتفا کرد.. مقایسه منحنی حالت سوم با حالت اول نشان می‌دهد که اثر تغییر مکان محوری تا حدودی قابل توجه بوده به خصوص پس از گذشت مدت زمانی این اثر افزایش می‌یابد. به عنوان مثال در لحظه حدود ۰/۶ میلی ثانیه فاصله بین نقاط ماکزیمم نسبی حدود ۳۰۰ MPa است که تقریباً ۱۸٪ مقدار تنش در حالت اول می‌باشد. بنابراین حذف اثر تغییر مکان محوری در معادلات می‌تواند موجب بروز خطای قابل توجهی گردد. مقایسه این حالت با حالت اول نشان می‌دهد که شکل نوسانات کمی تغییر کرده است به طوریکه در این حالت در زمان انتهایی ۱ میلی ثانیه، w به بیشترین مقدار خود، یعنی ۱ میلی متر رسیده است. در صورتیکه در حالت قبل تغییر مکان در لحظه ۱ میلی ثانیه حدود ۰/۴ میلی متر بوده و حداکثر تغییر مکان نیز حدود ۰/۸۲ میلی متر می‌باشد. پریود نوسانات در این حالت $10 \times 13/5$ می‌باشد که از آنجا فرکانس ۷۴۰۷ Hz (مو، چهارم) بدست می‌آید. بنابراین ملاحظه می‌گردد که فرکانس سبستم بالا رفته است. علت این امر بالا رفتن سختی سیستم در اثر مقید کردن درجات آزادی u سیستم می‌باشد. مقایسه حالت چهارم با حالت اول نشان دهنده اثر پریود بارگذاری در مقادیر توزیع تنش ایجاد شده می‌باشد. همانطورکه ملاحظه می‌گردد در حالت اول ماکزیمم تنش ایجاد شده بیشتر بوده و نوسانات حول صفر می‌باشد در صورتیکه در حالت چهارم ماکزیمم تنش کمتر بوده و نوسانات حول مقدار تنش حالت استاتیک بوده و از منحنی بارگذاری پیروی می‌کنند.

نتیجه‌گیری

با توجه به بررسی‌هایی که به عمل آمد و نتایجی که از بخش قبل بدست آمد چنین استنباط می‌شود که در بارگذاریهای دینامیکی با نرخ زیاد، تأثیر عبارت وابسته ساز kk^G در میدان درجه حرارت به خوبی قابل مشاهده می‌باشد، هر چند که اثر آن در مثال‌هایی که حل گردید چندان زیاد نبود. همچنین دیده شد که حذف عبارت تغییر مکان محوری از معادلات می‌تواند خطای قابل توجهی ایجاد کند. علاوه بر آن ملاحظه شد که پریود بارگذاری در مقادیر تنش‌های ایجاد شده موثر بوده و مقادیر تغییر مکان و تنش ایجاد شده در حالت دینامیکی متفاوت با حالت استاتیکی می‌باشد.

مراجع

- 1 - Eslami, M. R., Shakeri, M. and Sedaghati, R. (1994). "Coupled thermoelasticity of an axially symmetric cylindrical shell." *J. Thermal Stresses*, Vol. 17, PP. 115-135.
- 2 - Eslami, M. R. and Vahedi, H. (1989). "Coupled thermoelasticity beam problems." *AIAA J.*, Vol 27, PP. 662-665.
- 3 - Eslami, M. R. and Vahedi, H. (1989). "A Galerkin finite element formulation of dynamic thermoelasticity for spherical problems." *Proc ASME-PVP Conf.*, July 23-27, Hawaii.
- 4 - Ghoneim. (1986). "Thermoviscoplasticity by finite element: Dynamic loading of a thick walled cylinder." *J. Thermal Stresses*, Vol. 9, PP. 345-358.
- 5 - McQuillen, E. J. and Brull, M. A. (1970). "Dynamic thermoelastic response of cylindrical shells." *Trans. ASME Ser. E, J. Appl. Mech.* PP. 661-670.
- 6 - Takezono, S., Tao, K. and Taguchi, T. (1989). "Elasto/viscoplastic dynamic response of axisymmetric shells under mechanical and/or thermal loading." *Proc. ASME-PVP Conf.*, July 23-27, Hawaii.
- 7 - Tene, Y. and Sheinman, I. (1978). "Dynamics of shell of revolution under axisymmetric load involving shear deformation." *Computers & Structures*, Vol.8, PP. 563-568.
- 8 - حکیم‌الهی، ب. "بررسی اثرات شوک‌های فشار، برش و درجه حرارت در استوانه جدار نازک با استفاده از حل معادلات وابسته ترمومواستیسیتۀ دینامیکی." پایان‌نامۀ کارشناسی ارشد، گروه مهندسی مکانیک، دانشکده فنی، دانشگاه تهران، تابستان (۱۳۷۵).
- 9 - سلطانی، ن. و حکیم‌الهی، ب. "بدست آوردن معادلات دینامیکی ترمومواستیسیتۀ در استوانه جدار نازک برای حل به روش اجزاء محدود." پنجمین کنفرانس سالانه مهندسی مکانیک، دانشگاه تبریز، اردیبهشت (۱۳۷۵).